

Міністерство освіти і науки України  
Національний технічний університет  
«Дніпровська політехніка»

Інститут природокористування  
(інститут)

Кафедра гірничої інженерії та освіти  
(повна назва)

### **ПОЯСНЮВАЛЬНА ЗАПИСКА**

кваліфікаційної роботи ступеню бакалавра  
(бакалавра, спеціаліста, магістра)

**студент** Корепанов Олександр Олександрович  
(П.І.Б.)  
**академічної групи** 184-17ск-3  
(шифр)  
**спеціальності** 184 Гірництво  
(код і назва спеціальності)  
**за освітньо-професійною програмою** Гірництво  
  
(офіційна назва)

**на тему** Розробка параметрів технології демонтажу механізованого комплексу пласта С<sub>4</sub> шахти «Павлоградська» ПрАТ «ДТЕК Павлоградвугілля»  
(назва за наказом ректора)

Керівники	Прізвище, ініціали	Оцінка за шкалою		Підпис
		рейтинговою	інституційною	
кваліфікаційної роботи	доц. Мамайкін О.Р.			
розділів:				
Розділ 1	доц. Мамайкін О.Р.			
Розділ 2	доц. Мамайкін О.Р.			
Охорона праці				

<b>Рецензент</b>				
------------------	--	--	--	--

<b>Нормоконтролер</b>	доц. Мамайкін О.Р.			
-----------------------	--------------------	--	--	--

**Дніпро**  
**2020**

**ЗАТВЕРДЖЕНО:**  
 завідувач кафедри  
**Гірничої інженерії та освіти**  
 (повна назва)  
**проф. Бондаренко В.І.**  
 (прізвище, ініціали)  
 (підпис) «          » 2020 року

**ЗАВДАННЯ**  
**на кваліфікаційну роботу**  
**ступеня бакалавра**  
 (бакалавра, спеціаліста, магістра)

**студенту Корепанов О.О.** **академічної групи 184-17ск-3**  
 (прізвище та ініціали) (шифр)

**спеціальності 184 Гірництво**  
 (код і назва спеціальності)

**за освітньо-професійною програмою Гірництво**  
 (офіційна назва)

**на тему Розробка параметрів технології демонтажу механізованого комплексу пласта С4 шахти «Павлоградська» ПрАТ «ДТЕК Павлоградвугілля»,**  
 затверджену наказом ректора НТУ «Дніпровська політехніка» від №

<b>Розділ</b>	<b>Зміст</b>	<b>Термін виконання</b>
Розділ 1	Характеристика гірничого підприємства. Аналіз виробничої ситуації з розвитку гірничих робіт.	22.04.2020 р.
Розділ 2	Обґрунтування технологічних та технічних рішень (заходів). Розрахунок параметрів. Транспорт та вентиляція.	28.05.2020 р.
Охорона праці	Заходи з охорони праці та підтримання нормальних умов праці, технічні засоби для їх реалізації.	10.06.2020 р.

**Завдання видано**                          **Мамайкін О.Р.**  
 (підпис керівника) (прізвище, ініціали)

**Дата видачі** 06.04.2020 р.

**Дата подання до екзаменаційної комісії** 15.06.2020 р.

**Прийнято до виконання**                          **Корепанов О.О.**  
 (підпис студента) (прізвище, ініціали)

## РЕФЕРАТ

Пояснювальна записка містить: 65 аркушів друкованого тексту, 17 рисунків, 14 таблиць, 19 джерел, один додаток на трьох сторінках.

Ідея кваліфікаційної роботи полягає в розробці та використанні економіко-математичних моделей для обґрунтования нової структури технологічного процесу демонтажу механізованого комплексу.

У вступі дана оцінка нинішнього стану, зроблено аналіз виробничої ситуації, визначені технічні пріоритети, конкретизовано завдання на кваліфікаційну роботу.

Пояснювальна записка кваліфікаційної роботи має розрахунки, які підтверджують працевдалість пропозицій щодо поліпшення техніко-економічного стану вугледобувного підприємства. Розроблено рекомендації по заміні існуючої структури демонтажу механізованого комплексу на більш безпечну та з економічної точки зору переважну, представлена технологічна схема транспорту.

У розділі "Охорона праці" розглянуті заходи щодо розробки плану ліквідації аварій при виникненні пожежі у виробці, розглянуті шкідливі і небезпечні фактори, а також шляхи підвищення безпеки праці.

В економічній частині кваліфікаційної роботи виконано розрахунок економічного ефекту від підвищення зменшення питомої собівартості видобутку.

Результати кваліфікаційної роботи можуть бути використані при підготовці запасів, що залишилися в умовах шахти «Павлоградська» ПрАТ «Павлоградвугілля».

**ШАХТА, АНАЛІЗ ВИРОБНИЧОЇ СИТУАЦІЇ, ДЕМОНТАЖ,  
ЕКОНОМІКО-МАТЕМАТИЧНА МОДЕЛЬ, ЕКОНОМІЧНИЙ ЕФЕКТ.**

## ЗМІСТ

Реферат	3
Вступ	5
1. Характеристика гірничого підприємства	6
1.1 Місце розташування підприємства	6
1.2. Гірнико-геологічна характеристика	6
1.3. Аналіз виробничої ситуації з розвитку гірничих робіт	12
1.4. Висновки	14
1.5. Вихідні дані на проект	14
2. Технологічна частина	16
2.1 Обґрунтування технологічних та технічних рішень	16
2.2 Розрахунок параметрів технології демонтажу видобувного комплексу	18
2.3 Технологія виконання прийнятих рішень	31
2.4 Організація робіт на виробничій дільниці	34
2.5 Технологічна схема транспорту виробничої дільниці	37
2.6 Вентиляція виробничої дільниці	41
2.7 Охорона праці	46
2.8 Розрахунок собівартості 1 т видобутої корисної копалини	51
2.9 Висновки	57
Висновки	59
Перелік посилань	60
Додатки	62

## ВСТУП

В даний час одними з основних напрямків економічного і соціального розвитку України є збільшення обсягів видобутку вугілля поліпшення його якості і підвищення ефективності роботи вуглевидобувної галузі. Для вирішення цих завдань, поряд з удосконаленням техніки і технології, необхідно реконструювати шахтний фонд в напрямку концентрації гірничих робіт, поліпшення планування підготовчих виробок з метою скорочення трудомісткості і вартості їх підтримки, підвищення ефективності роботи прохідницького і видобувної обладнання.

У ситуації, що склалася шахтам доводиться самостійно вирішувати питання обладнання, матеріалів, електроенергії і так далі для підвищення ефективності і продуктивності. Отже, стратегічним техніко-економічним напрямом розвитку шахт є створення і впровадження новітньої техніки і технології демонтажу механізованого комплексу, процесів підземного видобутку вугілля, здатних при наявності конкуренції і ринкових цін на продукцію, посилення екологічних та ергономічних вимог підвищити продуктивність і ефективність шахти і праці шахтарів.

Метою даної кваліфікаційної роботи є збільшення виробничої потужності шахти за рахунок ліквідації "вузьких місць" у технологічному ланці (фронт гірських робіт) шляхом застосування найбільш раціональної і економічно вигідної технології демонтажу механізованого комплексу, обґрунтування і вибір якої виконано в розділі 2 цієї кваліфікаційної роботи.

## 1. ХАРАКТЕРИСТИКА ГІРНИЧОГО ПІДПРИЄМСТВА

### 1.1 Місце розташування підприємства

Шахта «Павлоградська» введена в експлуатацію в 1968 році з проектною потужністю 1200 тис. т вугілля на рік, яка була освоєна в 1977 році. Поле шахти «Павлоградська» розташоване в заплаві р. Самара. За адміністративним поділом відноситься до Павлоградського району Дніпропетровської області.

У гірничопромисловому відношенні шахта входить до складу ПАТ «ДТЕК Павлоградвугілля». Поблизу поля шахти розташоване с. Вербки, а в 8 км на південний захід від знаходиться м. Павлоград. У безпосередній близькості від шахти проходить автострада Донецьк–Київ і залізниця Павлоград–Лозова та Павлоград–Красноармійськ. Джерелом електричної енергії шахти є районна підстанція «Павлоградська–330» системи «Дніпроенерго», розташована в 6 км від шахти. Рельєф ділянки являє собою слабовсхолмлену рівнину. Клімат району помірно континентальний, середня температура липня плюс 24,4°C, січня - мінус 11,5°C. Залігання порід і вугілля пологе. Кути падіння порід 3–4°.

### 1.2. Гірнича-геологічна характеристика

Шахтне поле приурочено до північно-східного схилу Українського кристалічного масиву і тягнеться вздовж південно-західного борту Дніпровсько-Донецької западини. Площа характеризується спокійним моноклінальним заліганням осадової товщі карбону з падінням порід в північному та північно-східному напрямках під кутом 3-4° і ускладнюється цілим рядом великих і дрібніших тектонічних порушень. Найбільш великими є Богдановський, Південно-Тернівський, Павлоградський-В'язівський скиди з амплітудою зміщення порід від 20 до 375 м і кутами падіння 35-70°. Крім них простежується ряд скидів №6, 7, 8, 9, 10, 11, оперяють Південно-Тернівський скид; №12 і 13, оперяють Павлоградсько-В'язівський скид.

Крім розривних порушень гірничими роботами встановлено значну кількість дрібних і дуже дрібних порушень як скидного, так і надвигового характеру з амплітудою зміщення від 0,05 до 2 м.

Промислова вугленосність шахтного поля приурочена до відкладів Самарської свити ( $C_1^3$ ) нижнього карбону, в якій міститься до 50 вугільних пластів і прошарків, з яких робочої потужності більш 0,60 м досягають сім пластів:  $C_9$ ,  $C_8''$ ,  $C_7''$ ,  $C_6$ ,  $C_5$ ,  $C_4$  і  $C_1$ . Запаси по пластах  $C_8''$  і  $C_7''$  відпрацьовані шахтою в період з 1968 по 1990 рр. За ступенем витриманості вугільні пласти  $C_9$ ,  $C_5$  і  $C_1$  відносяться до відносно витриманих, а вугільні пласти  $C_6$  і  $C_4$  – до невитриманих.

Вміщуючі породи представлені аргілітами, алевролітами і вапняками. Коефіцієнт міцності коливається в межах 2–3 за шкалою Протодьяконова.

Шахта віднесена до третьої категорії за метаном. Вугільні пласти не схильні до самозаймання, не є небезпечними по вибуху вугільного пилу. Вміщуючі породи сілікозонебезпечні, в нормальних умовах – середньої стійкості, при обводненні – слабостійкі. Приплив води в забій очікується проривними струменями. Нормальний приплив води в проходнице вибої очікується: по пласту  $C_4$  до  $2 \text{ м}^3/\text{год.}$ , по пласту  $C_1$  до  $5 \text{ м}^3/\text{год.}$ ; максимальний: по пласту  $C_4$  до  $3 \text{ м}^3/\text{год.}$ , по пласту  $C_1$  до  $7 \text{ м}^3/\text{год.}$  Шахтні води по відношенню до металу корозійні. До звичайних несульфатостійких портландцементам води мають сульфатну і лужну агресивність. Мінералізація шахтних вод становить 4,5 г/л.

Природна газоносність вугільних пластів низька. Максимальна газоносність по шахті  $12 \text{ м}^3/\text{т.с.б.м}$  відзначена по пласту  $C_4$  на глибині 258 м в центральній частині шахтного поля. За Південно-Тернівським скидом по пластах  $C_4$  і  $C_1$  вона не перевищує  $2\text{--}3 \text{ м}^3/\text{т.с.б.м.}$

За останні п'ять років фактичний середньорічний видобуток шахти складає 1200 тис. т. Проектна потужність шахти становить 1200 тис. т на рік, яка забезпечується роботою чотирьох-п'яти очисних вибоїв.

Шахтне поле розкрите двома центрально-здвоєними вертикальними стволами (головним і допоміжним), горизонтальними і похилими квершлагами.

Діючі горизонти – 140, 160, 190 і 235 м. Стовбури пройдені до гор. 320 м. В даний час головний стовбур нижче гор. 190 м і допоміжний нижче гор. 265 м замулені, оскільки знаходилися на мокрій консервації.

Відповідно до ПЕР (1989 рік) здійснена розконсервування допоміжного стовбуру до гор. 235 м і нижче до позначки 255 м, яке в даний час триває. Для очищення цього стовбура до гор. 265 м, з гор. 235 м на гор. 265 м пройдена похила виробка.

Розкриття пласта  $C_4$  за Південно-Тернівським скидом здійснено двома квершлагами: вентиляційним з діючих виробок пласта  $C_7$  і горизонтальним з існуючих виробок пласта  $C_6$  гор. 140 м. Крім того, пласт  $C_4$  розкривається похилим вентиляційним квершлагом, проведеним з магістрального відкочувального штреку пласта  $C_1$ .

Схема провітрювання шахти – центральна, спосіб провітрювання – всмоктуючий. Схема провітрювання виїмкових дільниць – возвратноточная.

Депресія шахти – 256 даПа. Свіже повітря в шахту надходить по допоміжному стовбуру, а вихідний струмінь виводиться по головному. В очисні вибої свіже повітря надходить по магістральному відкочувальному виїмковому грузолюдському штреку, а вихідний струмінь виводиться по виїмковим і магістральним конвеєрним штреками. Відповідно до прийнятої схеми вентиляції для подальшої експлуатації зберігається існуюча вентиляторна установка у головного стовбура. Установка обладнана двома (один робочий) осьовими вентиляторами типу ВОД-30М з приводом кожного від синхронного електродвигуна типу СДВ-15-64-10УЗ, потужністю 1250 кВт, 600 об/хв., 6 кВ.

Головний стовбур обладнаний двоскіповими вугільним і односкіповим з противагою породним підйомами, що забезпечують видачу вугілля з гор. 140 м і породи з гор. 160 м. Машина вугільного підйому – типу 2Ц-4х1,8,

вантажопідйомністю 9,0 т. Машини породного підйому – типу 2Ц-4х1,8, що забезпечує максимальну швидкість підйому – 5,8 м/с. Скіп ємністю 5,0 м<sup>3</sup>, вантажопідйомністю 5,3 т. Допоміжний ствол обладнано двома одноклітковими з противагами підйомами, які виконують допоміжні вантажолюдські операції з гор. 140, 160, 190 і 235 м. Машини обох підйомів – типу ЦР4х3,2/0,6.

У проекті прийняті системи суцільної конвеєрізації вантажопотоку вугілля від очисних вибій до головного стовбура шахти, комбінованого транспорту для відкатки породи і рейкового транспорту для доставки матеріалів, обладнання та перевезення людей.

У виїмкових штреках встановлені стрічкові конвеєри 1ЛТ80У, 1Л80У, 2ЛТ80, які транспортують вугілля до західного або східного конвеєрних штреків, де розташовані конвеєри 1Л100У, 2Л100У «Гварек-1000». З цих конвеєрів вугілля надходить на магістральний конвеєрний штрек пласта С<sub>5</sub>. На цьому штреку встановлено стрічковий конвеєр 1ЛУ120, який передає вугілля на лінію з двох конвеєрів 1ЛУ120, а далі до завантажувального пристрою гор.140 м головного стовбуру.

Допоміжний транспорт по виїмкових штреках здійснюється за допомогою надґрунтових доріг типу ДКНЛ-1, у горизонтальних виробках - за допомогою акумуляторних електровозів АМ8Д з вагонетками ВГЗ,3 (для породи, матеріалів і обладнання) і ВПГ-18 (для перевезення людей).

Доставка породи по виїмкових штреках здійснюється напочвенной дорогами ДКНЛ1, по магістральним виробках - електровозного транспортом до вуглеспускних гезенків, а далі - конвеєрним транспортом до породного бункера головного стовбура шахти з використанням стрічкових конвеєрів типу 1Л100У. Існуюча схема транспорту та встановлене обладнання задовільняють діючому навантаженню і забезпечують виробничу потужність шахти.

Підготовка розроблюваних пластів С<sub>6</sub> і С<sub>5</sub> здійснюється за погоризонтною схемою, яка реалізується на шахті протягом всього періоду її

роботи, і для гірничо-геологічних умов шахти, відповідає рекомендаціям «Норм технологічного проектування вугільних і сланцевих шахт» і є оптимальною.

Для підготовки пласта  $C_4$  за Південно-Тернівським скиданням з вентиляційного квершлагу с7-с4 проходиться магістральний вентиляційний штрек, від якого в західному і східному напрямках планується проведення четвертих магістральних вентиляційних і конвеєрних штреків, а безпосередньо у Південно-Тернівського скидання третіх магістральних вентиляційних (дренажних) штреків.

З огляду на значні розміри шахтних полів пластів  $C_4$  і  $C_1$ , проектом передбачається їх поділ на два крила (східне і західне). Східне крило пл.  $C_1$  (довжиною понад 2,7 км) розділяється на два поля по простяганню і повстанню пласта.

Розробка пластів  $C_6$  і  $C_5$  здійснюється довгими стовпами по повстанню з проведенням виїмкових штреків вприсічку до раніше пройдених і погашених для відпрацювання наступних стовпів.

Довжина стовпів коливається від 600 до 1200 м в залежності від поширення ділянок пластів з робочою потужністю, довжина лав – 160–180 м. Відпрацювання виїмкових стовпів ведеться по повстанню. Це обумовлено гідрогеологічними умовами. При надходженні в очисний вибій, вода самопливом стікає в вироблений простір, при цьому ґрунт в вибої не встигає розмокнути. У разі затримки води в лаві тривалий час ґрунт розмокає, очисний комплекс «просідає», що призводить до передчасного опускання покрівлі та завалу очисного вибою.

В кінці року в роботі було задіяно чотири лави (одна на пл.  $C_6$ , одна на пл.  $C_5$  і дві на пласті  $C_4$ ). Лави на пластах  $C_5$  і  $C_6$  обладнані механізованими кріпленнями КД80 і комбайнами КА80, УКД-300, на пласті  $C_4$  комбайнами КА80. Управління покрівлею - повне обвалення. Середнє навантаження на лаву по шахті склало в середньому 750-1000 т/добу.

Технологічна схема передбачає човникову виїмку вугілля з фронтальним самозаррубуванням комбайну на кінцевих ділянках лави. Відбите вугілля навантажується на скребковий конвеєр і транспортується на перевантажувач ПТК-1 збірного штреку. Пересування секцій кріплення здійснюється слідом за посування комбайну. Попереду лави, під металеві верхняки рамного кріплення встановлюється кріплення посилення з гіdraulічних стійок ГСК на відстані 40-50 метрів.

Для безперервного автоматичного контролю вмісту метану в рудничній атмосфері безпосередньо на робочих місцях приймаємо аналізатори метану СМС ½, «Сигнал-2». Як переносні датчики контролю метану використовуються шахтні інтерферометри ШІ-10, ШІ-11.

Проведення підготовчих виробок на шахті здійснюється комбайнами ГПКС і 4ПП-2, темпи проведення: магістральних – 130-140 м/міс., дільничних 160-180 м/міс. Кріплення виїмкових штреків металева арочна типу КШПУ. Обсяг проведення магістральних і виїмкових штреків за останні п'ять років роботи шахти склав в середньому 8 м на 1000 т видобутку.

Застосування комбайнів вибіркової дії із стрілоподібним виконавчим органом дозволяє здійснювати роздільну виїмку вугілля і породи, забезпечує зниження загальних витрат праці в 1,5–4 рази в порівнянні з буропідривним способом.

В таблиці 1.1 наведено техніко-економічні показники роботи шахти.

Таблиця 1.1 – Техніко-економічні показники роботи

Показник	Од. вимір	Значення
Потужність шахти:	тис. т/рік	1200
Кількість очисних вибоїв	лава	4
Навантаження на очисний вибій	т/доб.	732
Число робочих днів	діб	300
Число робочих змін	zmін	4
Число змін з видобутку вугілля	zmін	3
Списочний склад:	люд.	570

Показник	Од. вимір	Значення
Робочих на очистних роботах	люд.	2370
Робочих з видобутку вугілля	люд.	2684
Працівників на шахті		
Змінна продуктивність праці:		
Робочого на очисних роботах	т/люд.	2,72
Робочого з видобутку вугілля	т/люд.	0,65
Річна продуктивність праці:		
працівника з видобутку вугілля	т/люд.	506,33
працівника по шахті	т/люд.	447,09

### 1.3. Аналіз виробничої ситуації з розвитку гірничих робіт

Причини, які стимулюють розвиток гірських робіт і не дають можливості ритмічно працювати для досягнення більш високої виробничої потужності, а також заходи щодо їх усунення зведені в таблицю 1.2.

Таблиця 1.2 – Аналіз виробничої ситуації з розвитку гірничих робіт

Ефективні рішення і розробки	В якому комплексі використані	Технічна або економічна ефективність, розміри економії матеріальних, трудових та інших ресурсів
1. Спадний порядок відпрацювання вугільних пластів	Схема розкриття	Забезпечення розвантаження гірського масиву по всій віймкових площі зі зниженням загазованості, підвищенням безпеки робіт.
2. Групування пластів	Схема підготовки	Концентрація гірничих робіт, зменшення обсягів і протяжності одночасно підтримуваних виробок, спрощення схем транспорту і вентиляції.
3. Обладнання очисних вибій комплексами нового технічного рівня КД-90	Система розробки	Зниження трудомісткості і підвищення безпеки ведення очисних робіт, підвищення навантаження на очисний вибій.
4. Застосування нових ефективних конструкцій кріплень КШС і	Підготовчі роботи	Скорочення витрат на ремонтно-відновлювальні роботи до 150 у.о.. на 1 м виробки.

Ефективні рішення і розробки	В якому комплексі використані	Технічна або економічна ефективність, розміри економії матеріальних, трудових та інших ресурсів
КШПУ з спецпрофілем для кріплення гірничих виробок		
5. Проведення підготовчих виробок із застосуванням прохідницьких комбайнів типу 4ПП-2М	Підготовчі роботи	Дозволяє проходити вироблення по породам з міцністю до $f = 6$ і перетином в проходці до $25 \text{ m}^2$ і забезпечує підвищення темпів проходки в 1,5 рази, а продуктивність праці в 2÷2,2 рази
6. Заміна нагнітального провітрювання підготовчих виробок і вантажних пунктів на відсмоктування	Підготовчі роботи	Зниження рівня запиленості на робочих місцях в 60-80 разів. Підвищення продуктивності, поліпшення умов роботи, забезпечення безпеки і гігієни.
7. Вертикальні вугільні (породні) бункера великої місткості	Скорочення транспортних потоків на підземному транспорти	Забезпечення незалежної роботи транспорту і очисних вибоїв, підвищення надійності технологічних схем, збільшення коефіцієнта машинного часу очисного або прохідницького обладнання.
8. Механізований бункер в ланцюзі конвеєрів дільничного і магістрального транспорту	Підземний транспорт	Підвищення коефіцієнта машинного часу очисного обладнання, збільшення навантаження на лаву.
9. Зміна організації робіт при демонтажі механізованого комплексу	Очисні роботи	Зниження часу кінцевих операцій, що припадають на 1 т.с.д. Скорочення витрат на організацію робіт, що сприятиме зниженню собівартості видобутку.

## 1.4. Висновки

Для вирішення виробничих проблем і забезпечення ритмічної роботи шахти, а також її проектної потужності необхідно:

- скоротити витрати на проведення підготовчих виробок за рахунок закладки порід у вироблений простір, а також за рахунок повторного використання виймкових штреків;
- запропонувати більш прогресивні схеми демонтажу очисного обладнання;
- застосовувати системи розробки, що дозволяють застосовувати повторне використання виймкових штреків;
- збільшити навантаження на очисний вибій;
- провести часткову заміну застарілого обладнання на нове, більш досконале;
- застосовувати більш досконалі технології виймки вугілля на досить тонких і тонких пластиах, що дозволяють знизити зольність вугілля, що видобувається.

## 1.5. Вихідні дані на проект

Виробнича потужність шахти становить 1,2 млн т вугілля на рік.

На полі шахти робочими є такі пласти: C<sub>6</sub>, C<sub>5</sub>, C<sub>4</sub> і C<sub>1</sub>. Пласти C<sub>8"</sub> і C<sub>7"</sub> шахтою відпрацьовані. Залігання порід і вугілля пологе. Кут падіння порід 3-4°.

Вміщуючі породи представлені аргілітами, алевролітами і вапняками. Коефіцієнт міцності коливається в межах 2-3 за шкалою Протодъяконова.

Потужність шахти забезпечується роботою 4-х лав із середнім навантаженням 1000 т/добу. Проведення підготовчих виробок на шахті здійснюється комбайном !ГПКС, темпи проведення 160-180 м/міс.

На шахті прийнята схема суцільної конвеєризації вантажопотоку вугілля від очисних вибійв до головного стовбуру шахти, комбінованого транспорту для відкатки породи і рейкового транспорту для доставки матеріалів, обладнання та перевезення людей.

Існуюча схема транспорту та встановлене обладнання задовольняють діючому навантаженню і забезпечують виробничу потужність шахти.

Схема провітрювання шахти – центральна, спосіб провітрювання – всмоктуючий. Схема провітрювання виїмкових дільниць - зворотньоточна.

## 2. ТЕХНОЛОГІЧНА ЧАСТИНА

### 2.1 Обґрунтування технологічних та технічних рішень

В таблиці 2.1 наведено характеристики видобувної дільниці шахти «Павлоградська». В результаті виконання проекту необхідно запропоновувати нову схему демонтажу механізованого комплексу.

Таблиця 2.1 – Характеристики існуючої виймальної дільниці

Параметр	Значення	Кількість
Механізоване кріплення	МКД80	130
Очисний комбайн	КА80	1
Забійний конвеєр	СП250	1

У очисного комплексу типу 1МКД80 секції механізованого кріплення доставляються в шахту до місця установки на платформах у не розібраному виді.

Устаткування комплексу демонтується в наступній послідовності: видається з лави комбайн, заздалегідь знімають шнеки і вантажні пристрої; знімається траковий ланцюг кабелеукладача і борти конвеєра; важелі системи стійкості і направляючі балки (при порушеній покрівлі) демонтується спільно з кріпленням; знімаються кронштейни і зачищені лемеша конвеєра; демонтуються головка конвеєра і його лінійні секції; демонтується секції кріплення і гідромагістраль комплексу.

Після демонтажу обладнання в лаві демонтують штрекове обладнання, штрекові конвеєри, електрообладнання та протипожежні трубопроводи.

Для даних гірничо-геологічних умов застосований механізований комплекс очисного обладнання 1МКД80, до складу якого входять механізоване кріплення 1КД80, комбайн КА80 з ланцюговим механізмом переміщення, скребковий конвеєр СП-250 з кабелеукладачем, перевантажувач на штреку, насосна станція, електрообладнання, система

автоматичного й дистанційного управління машинами комплексу і інше допоміжне обладнання.

На шахтах українського Донбасу демонтаж комплексу проводиться за першою схемою – підготовка демонтажної камери механізованим комплексом. При цьому під час демонтажу секцій заводяться під дошку або брус. В лаві спостерігається підвищення кількості вивалам з привибійної частини, затискання секцій, при цьому кількість секцій посаджених на «жорстке» збільшується після зупинки лави постійно. У ряді випадків витягти секції не представляється можливим.

Час на демонтаж комплексу на шахтах становить 30-35 днів, основна частка витрат часу пов'язана з демонтажем секцій і перекріплення демонтажної камери. При цьому простій в роботі лави призводить до непрямих втрат видобутку, а відповідно і прибутку. Виняток цього недоліку можливо при проведенні демонтажу в заздалегідь підготовлену камеру або ходок.

Таким чином, в роботі пропонується проект демонтажу комплексу із застосуванням заздалегідь підготовованої камери, що дозволить зменшити простої та непрямі витрати.

## **2.2 Розрахунок параметрів технології демонтажу механізованого комплексу**

### *2.2.1 Вибір і розрахунок обладнання для демонтажних робіт*

Розрахунок проводимо згідно «Керівництва з проектування, обладнання та експлуатації канатної відкатки допоміжних вантажів в дільничних виробках шахт».

***Розрахунок маси одного погонного метра канату:***

***Визначасмо максимальну масу вантажу, чіпляється до канату:***

$Q_p = 13,3\text{t}$  - максимальна маса секції кріплення.

$$P_{\kappa} = \frac{Q_p (\omega_c \cdot \cos \alpha_p + \sin \alpha_p)}{\sigma \cdot 10^5 / m_k \cdot \gamma - L_k (\omega_k \cdot \cos \alpha_{cp,s} + \sin \alpha_{cp,s})};$$

де:  $L_{kp} = 100\text{м}$  - довжина канату від лебідки до максимально віддаленої розрахункової точки;

$G = 1600\text{Н/мм}^2$  - межа міцності металевих дротів на розрив;

$\gamma = 9000\text{кг/м}^3$  – зведенна маса канату;

$\omega_3 = 0,3$  – коефіцієнт опору руху секції по ґрунту;

$\alpha_{max} = 60^0$  – максимальний кут нахилу виробки;

$\alpha_{cp,s} = 50^0$  – середньозважений кут нахилу виробки;

$\omega_{do} = 0,3$  – коефіцієнт опору руху канату по ґрунту;

$$P_{\kappa} = \frac{13300(0,3 \cdot 0,9945 + 0,1045)}{1600 \cdot 10^5 / 5 \cdot 9000 - 100(0,3 \cdot 0,9962 + 0,0872)} = 0,925\text{кг}$$

За певної маси одного погонного метра канату проходить сталевий канат подвійного звивання ЛК-О ГОСТ 2688-80  $d=17\text{мм}$ . Проектом приймаємо канат подвійного звивання ЛК-О ГОСТ 2688-80  $d=22\text{мм}$ ,  $F_{p,k} = 279\text{kH}$ ,  $P_{\kappa} = 1,74\text{kg}$ .

Розраховуємо фактичний статичний натяг канату при транспортуванні волоком секції кріплення КД80:

$$F_{cm,max} = g(Q_p(\sin \alpha_p + \omega_s \cdot \cos \alpha_p) + P_{\kappa} \cdot L_k(\sin \alpha_{cp,s} + \omega_k \cdot \cos \alpha_{cp,s}))$$

$$F_{cm,max} = 9,8 (13300 (0,3 \times 0,9945 + 0,1045) + 1,74 \times 100 (0,3 \times 0,9962 + 0,0872)) = 52800\text{H}$$

Фактичний запас міцності при транспортуванні волоком секції кріплення КД80:

$$m_{k,p} = \frac{F_{pk}}{F_{cm,max}} = 279 / 44,861 = 5,28 > 5$$

де:  $F_{pk}$  – розривне зусилля для канату,

$F_{cm,max} = 52,8\text{kH}$ , що значно менше тягового зусилля лебідки ЛПК-10

$F_{m,r} = 130\text{kH}$ . Проектом приймаємо для транспортування волоком секцій кріплення КД80 лебідку ЛПК-10.

В таблиці 2.2 наведено обладнання.

Таблиця 2.2 – Характеристика демонтажного обладнання

Найменування обладнання	Місце встановлення	Діаметр канату	призначення
Лебідка ЛПК-10 N 1 (Або ЛШМ)	демонт. камера	$D = 22.0$ мм	доставка обладнання по лаві
Лебідка ЛПК-10 N 2 (Або ЛШМ)	демонт. камера	$D = 22.0$ мм	доставка обладнання по лаві
Лебідка ЛПК-10 N 3 (Або ЛШМ)	ниша на вентиляційному штреку	$D = 22.0$ мм	доставка обладнання по лаві
Лебідка ЛПК-10 N 4 (Або ЛШМ)	ниша на вентиляційному штреку	$D = 22.0$ мм	навантаження обладнання на трансп. майданчик
Лебідка ЛПК-10 N 5 (Або ЛШМ)	конв. штрек	$D = 22.0$ мм	доставка обладнання по конвеєрному штреку
Лебідка ЛПК-10 N 6 (Або ЛШМ)	ниша на вентр. штр. навпаки збійці №1	$D = 22.0$ мм	доставка обладнання із збійки
Навантажувальні полици	на вантажному майданчику		навантаження секцій
відхиляють блоки	на лебідках		
апаратура сигналізації зв'язку АПК			зв'язок і сигналізація при демонтажних і постачальних роботах

Лебідка закріплюється 4-ми стійками 13Т, які одним кінцем встановлюються на раму лебідки, іншим в покрівлю виробки (див. графічну частину). Номінальний опір стійки 13Т складає 250кН (25000 кгс). Тоді  $250 \times 4 = 1000$ кН. Фактичний статичний натяг канату при транспортуванні волоком секції кріплення КД80  $F_{st,max} = 25,8$ кН

Тягове зусилля лебідки ЛПК-10Б - 130 кН.

Запас міцності по максимальному тяговому зусиллю лебідки становить:

$$N = \frac{\sum T_{ca}}{T_{reb}} = \frac{1000}{130} = 7,69$$

Установка 4-х стійок 13Т забезпечує надійний запас міцності при кріпленні лебідок, які застосовуються для монтажу забійного обладнання.

### *2.2.2 Розрахунок міцності кріплення за допомогою анкерів*

Початкові дані: статичний натяг канату: 52,8кН, тип застосованого анкеру – ШК-1м.

Кількість анкерів, що перешкоджають зрушенню

$$\Pi = \frac{4 \cdot \kappa \cdot T}{d^2 \cdot \pi \cdot \tau_{sp}}$$

де:  $d = 20$  мм – діаметр анкерного болта анкера ШК-1м ( $L = 1,8$  м);

$\tau_{sp} = 280\text{H / mm}^2$  – межа міцності матеріалу анкера на зріз.

$$\Pi = \frac{4 \cdot 2 \cdot 52,8}{400 \cdot 3,14 \cdot 280} = 1,19 \text{ анкерів}$$

З урахуванням дублюючої кріплення для кріплення лебідок за допомогою анкерів необхідно не менше 4-х анкерів.

Перевіримо по тяговому зусиллю лебідки.

Кількість анкерів, що перешкоджають зрушенню

$$\Pi = \frac{4 \cdot \kappa \cdot T}{d^2 \cdot \pi \cdot \tau_{sp}}$$

де:  $T = 130$  кН - тягове зусилля лебідки

$$\Pi = \frac{4 \cdot 2 \cdot 130000}{400 \cdot 3,14 \cdot 280} = 2.95 \text{ анкера}$$

На рис. 2.1 показано схему кріплення лебідки анкерами.

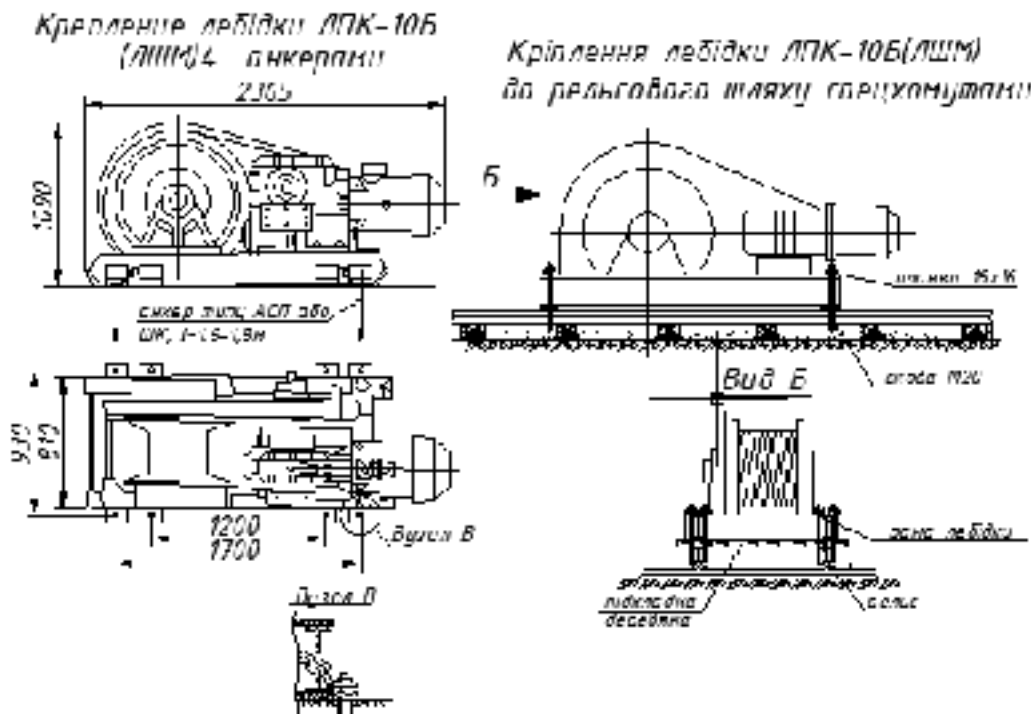


Рисунок 2.1 – Схема кріплення лебідки

### 2.2.3 Застосовані канати. Способи причеплення канатів лебідок

Сталеві канати, що застосовуються на лебідках повинні відповідати вимогам діючих ГОСТів або ТУ. Розрахунковий запас міцності канату повинен відповідати вимогам ПБ. Діаметр застосовуваних канатів повинен бути не менше розрахункового. Забороняється експлуатація сталевих канатів при наявності на якій-небудь ділянці обривів дротів, число яких на кроці сукання від загального числа канату досягає:

- 15% - для канатів вантажних лебідок у похилій виробці.
- 25% - для канатів маневрових і допоміжних лебідок.

Канати лебідок №№1,2,3,4,5,6 – причіплювати за допомогою ланцюга 18x64, з'єднувальних ланок, болта M20x80 з гайкою. Канати лебідок повинні бути запанцировані, згідно вимог «Технологічних схем монтажу і демонтажу механізованих комплексів ...». До шнеків комбайна канат чіпляється за допомогою спецхомутів (від аркового кріплення) виготовлених з круглого металу  $d = 20\text{мм}$  з різьбленим на кінцях, накладкою і 2 гайками M20. Хомут пропускається через наскрізний отвір гнізда установки зубки. На нього одягається петля канату, встановлюється планка і закручуються гайкою.

До редукторів, гойдалка, електродвигунів комбайна канат чіпляється в обхват калібріваним ланцюгом 18x64 або канатом з сполучною ланкою, болтом M20x80 з гайкою.

Причіпні пристрої, стропи, повинні задовольняти вимогам ТУ, ГОСТ.

Для причеплення канату до рухомого складу допускається застосування причіпних пристрій ПС-1, ПС-2.

Фактичний статичний натяг канату при транспортуванні волоком секції кріплення КД80  $F_{cm,max} = 52,8\text{kN}$

Розрахунок зусилля, що діє на блок

$$S2 = \frac{P1}{2 * \cos\left(\frac{a}{2}\right)} = \frac{52.8}{2 * \cos\left(60^\circ/2\right)} = 30,45 \text{ кН}$$

де  $a$  – максимальний кут між гілками канату, град.

Кількість анкерів, що перешкоджають зрушенню

$$\Pi = \frac{4 \cdot \kappa \cdot T}{d^2 \cdot \pi \cdot \tau_{op}}$$

де:  $d = 20$  мм – діаметр анкерного болту анкера ШК-1М ( $L = 1,8$  м);

$\tau_{op} = 280 \text{ Н / мм}^2$  – межа міцності матеріалу анкера на зріз.

$$\Pi = \frac{4 \cdot 2 \cdot 30450}{400 \cdot 3,14 \cdot 280} = 0,69 \text{ анкера}$$

Приймасмо для кріплення блоку 1 анкер АСП або ШК-1М.

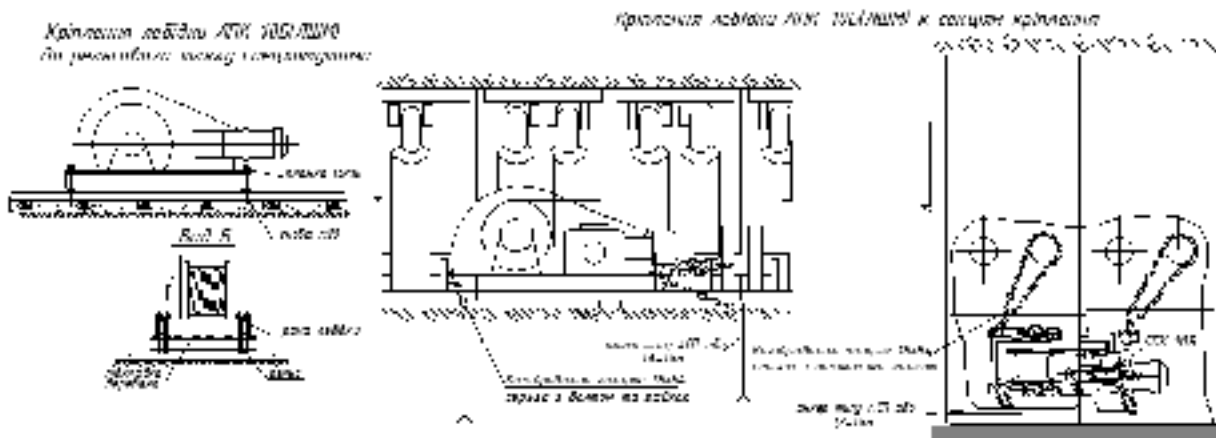


Рисунок 2.2 – Схема кріплення лебідок к механізованому кріпленню

Лебідки, навантажувальних полиць і обладнання для демонтажу надійно закріплюються до платформ із застосуванням дерев'яних підкладок і спускаються по стовбуру або бремсбергу і далі слектровозами по рейковому

шляху доставляються в зайзд вентиляційного ухилу. Кількість транспортних засобів з обладнанням, необхідним для спуску по вентиляційному ухилу, доставці по груповому вентиляційному штреку і спуску по ухилу повинно відповідати паспортам канатної відкатки цих виробок. Після доставки демонтажного обладнання на вентиляційний штрек проводиться розвантаження, доставка і установка демонтажного обладнання згідно зі схемою установки демонтажного обладнання.

#### *2.2.4 Організація робіт із демонтажу*

В таблиці 2.3 наведено порядок демонтажних робіт.

Таблиця 2.3 – Порядок демонтажних робіт

№	Найменування і послідовність виконання робіт	Од. вимір.	Кількість шт.
<b>Підготовчі роботи</b>			
1	Доставка і установка ЛПК-10, ЛШМ	шт.	7
2	Доставка і монтаж апаратури управління і зв'язку.	площ.	2
3	Розстановка засобів пожежогасіння.	згідно ПБ	
4	Установка навантажувального полку	шт.	1
<b>Демонтажні роботи:</b>			
1	Розключення і видача енергопоїзду на вентиляційний штрек, демонтаж перевантажувача ПСП-308 на конвейерному штреку.	площ	25
2	Демонтується верхня приводна головка лавного конвеєра і косий виїзд.	шт.	1
3	Демонтується комбайн, нижня приводна головка	шт.	1

Продовження табл. 2.3

№	Найменування і послідовність виконання робіт	Од. вимір.	Кількість шт.
	лавного конвеєра.		
4	Демонтується ланцюг лавного конвеєра.	м	435
5	Демонтується рештачного ставу лавного конвеєру	секцій	162
6	Демонтуються секції кріплення КД80	шт.	130
<b>Заключні роботи.</b>			
1	Демонтаж і видача навантажувального полку	шт.	1
2	Демонтаж і видача лебідок ЛПК-10, ЛШМ, ЛШВ	шт.	7
3	Демонтаж і видача апаратури управління і зв'язку.	площ.	2

Демонтажні роботи проводяться в наступній послідовності:

1. Розключення і видача енергопоїзду на вентиляційний штрек; демонтаж перевантажувача ПСП-308.
2. Демонтується верхня приводна головка лавного конвеєра і косою виїзд.
3. Демонтується комбайн; нижня приводна головка лавного конвеєра.
4. Демонтується ланцюг лавного конвеєру.
5. Демонтується рештачного ставу лавного конвеєру – 162 секцій
6. Демонтуються секції кріплення КД80 – 130 шт.

Демонтаж лавного конвеєра і секцій кріплення виробляється від низу до верху. Демонтується обладнання транспортується по демонтажній камері на вентиляційний штрек лебідками №№1,2 до місця навантаження.

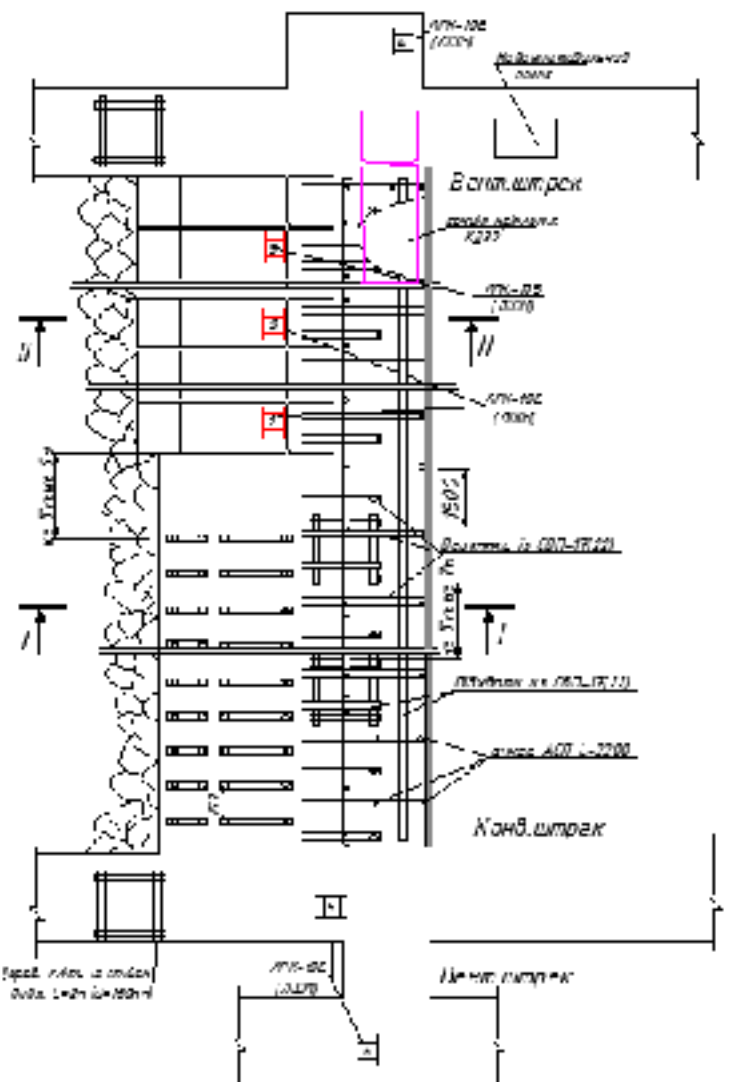


Рисунок 2.3 – Схема демонтажу кріплення КД80

#### 2.2.5 Демонтаж перевантажувача ПСПЗ08

Демонтаж перевантажувача проводиться за допомогою лебідки ЛПК10-Б №5 в наступній послідовності:

- з перевантажувача відключається електроенергія;
- скребковий ланцюг перевантажувача витягується з рештачного ставу за допомогою лебідки № 5,
- демонтується кінцева частина станції
- демонтується лінійний став перевантажувача і дробарки;

- демонтується пускова апаратура;
- демонтуються електродвигуни, редуктори, головний і перехідний рештаки.

Всі елементи перевантажувача ПСП-308 по черзі доставляються за допомогою лебідки №6 до місця відвантаження і відвантажуються в вагон або контейнер.

#### 2.2.6 Демонтаж комплексу МКД80

Демонтаж комплексу починається з демонтажу лавного конвеєру. В першу чергу роз'єднується приводна головка приводу від рештачного ставу; після демонтажу, вона доставляється до місця відвантаження за допомогою лебідки ЛПК-10Б № 4.

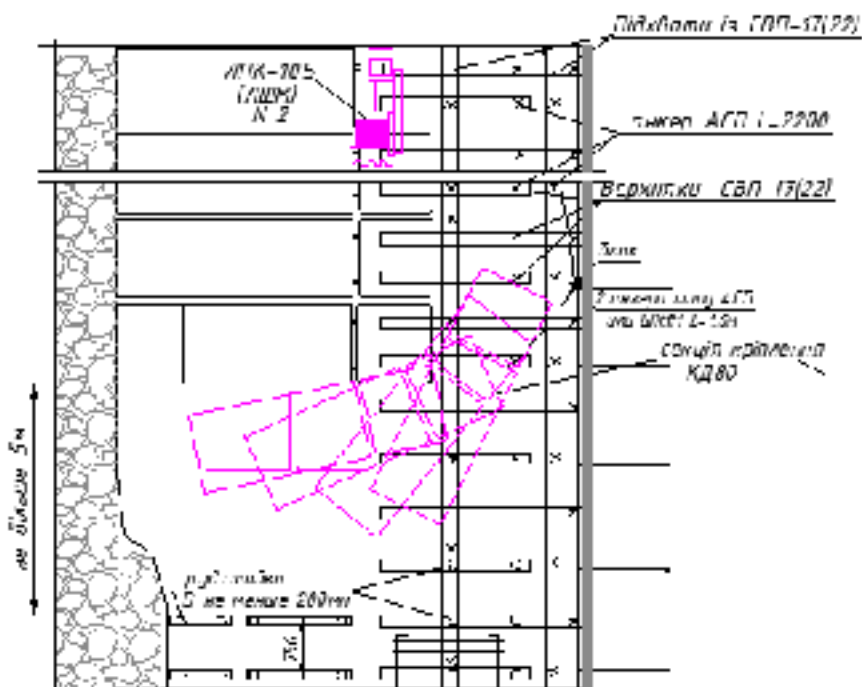


Рисунок 2.4 – Схема розвороту секції лебідкою

Потім проводиться демонтаж очисного комбайну КА80, після демонтажу комбайн доставляється до місця відвантаження за допомогою

лебідки ЛПК-10Б № 4. Після цього проводиться демонтаж ставу лавного конвеєру.

Лебідки ЛПК-10Б № 2 і № 3 встановлюються в середині демонтажної камери і служать для демонтажу, розвороту і підтягування секцій кріплення.

Лебідка ЛПК-10Б № 1, встановлюється на п'ятій секції від конвеєрного штреку, для демонтажу перших секцій комплексу. Надалі в міру просування демонтажних робіт, лебідка ЛПК-10Б № 1, переміщається ближче до вент. штреку.

#### *Демонтаж ланцюгу лавного конвеєру СП250*

Розкручується ланцюг лавного конвеєру, лебідкою ЛПК-10 N4 ланцюг з демонтажної камери витягається на вентиляційний штрек і вантажиться в вагони.

Після демонтажу ланцюгу розкручуються болти кріплення редуктора і електродвигуна від рами приводу верхньої приводний головки.

Лебідкою ЛПК демонтуються редуктор, електродвигун і рама верхньої приводний головки, які доставляються до місця відвантаження на вентиляційний штрек.

#### *Демонтаж очисного комбайну КА80*

Комбайн виганяється до вентиляційного штреку. Демонтуються шнеки комбайну, поворотні редуктори. Модуль корпусу комбайна розбирається на 2 частини. Демонтовані частини комбайна вантажаться на майданчики з допомогою лебідки ЛПК-10, встановленої на вентиляційному штреку під демонтажною балкою і видаються по вентиляційному штреку, подорожнього ухилу, групового вентиляційному штреку, вентиляційного ухилу і далі по стовбуру на гора.

#### *Демонтаж секцій кріплення*

Демонтаж секцій кріплення здійснюється від конвеєрного штреку до вентиляційного штреку. На анкер, забурений в груди вибою або ґрунт вироблення кріпиться блок, через блок пропускається канат лебідки ЛПК-10 і чіпляється за демонтується секцію кріплення. Зняття навантаження з

демонтованої секції проводиться після від'єднання від сусідніх секцій між секційних зв'язків гідросистеми. Секція скорочується і висувається на забій. Дається слабина канату, канат знімається з блоку і секція розгортається паралельно грудей вибою.

Канат чіпляється за монтажні отвори в підставі секції та секція транспортується по демонтажній камері на вентиляційний штрек лебідками ЛШМ, ЛПК-10 №№ 1, 2, 3, 4 до навантажувального полку.

Навішування відхиляючих блоків, причіплюється канатами до обладнання здійснюється за допомогою калібриваної ланцюга 18x64 з сполучною ланкою і болтом M20x80 з гайкою.

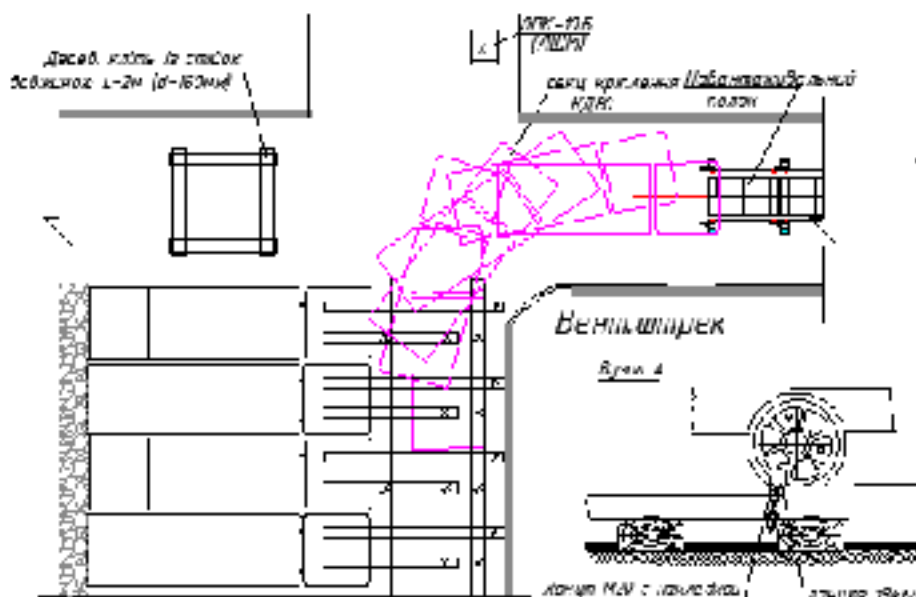


Рисунок 2.5 – Схема повороту секції кріплення

#### *Демонтаж секцій кріплення у разі обвалення порід*

У разі демонтажу секцій пригнічених породами покрівлі, в якості причіпних пристрій використовуються відрізки ланцюга 24x86 або 26x92 з сполучними ланками заводського зразка. Для збільшення переданого тягового зусилля при добуванні секцій, допускається навішування відхиляє блоку на демонтованих секцію за передній з'єднувач підстав секції. Канат

зводиться в блок, а петля кріпиться за основу козирка вищестоячої секції, за допомогою причіпного пристрою. Перед початком роботи демонтажних лебідок, старший на позиції вказує місця розташування інших робітників, зайнятих на позиції, з урахуванням розташування і натягу канатів і відхиляють блоків. Демонтаж пригнічених секцій необхідно вести в присутності осіб старшого змінного нагляду.

#### *Демонтаж останніх двох секцій кріплення*

Перед демонтажем останніх 2-х секцій, на місці попередніх 2-х демонтованих секцій, викласти кліт'ю з рудстійок, видати лебідки ЛПК-10Б №, № 1,2, 3.

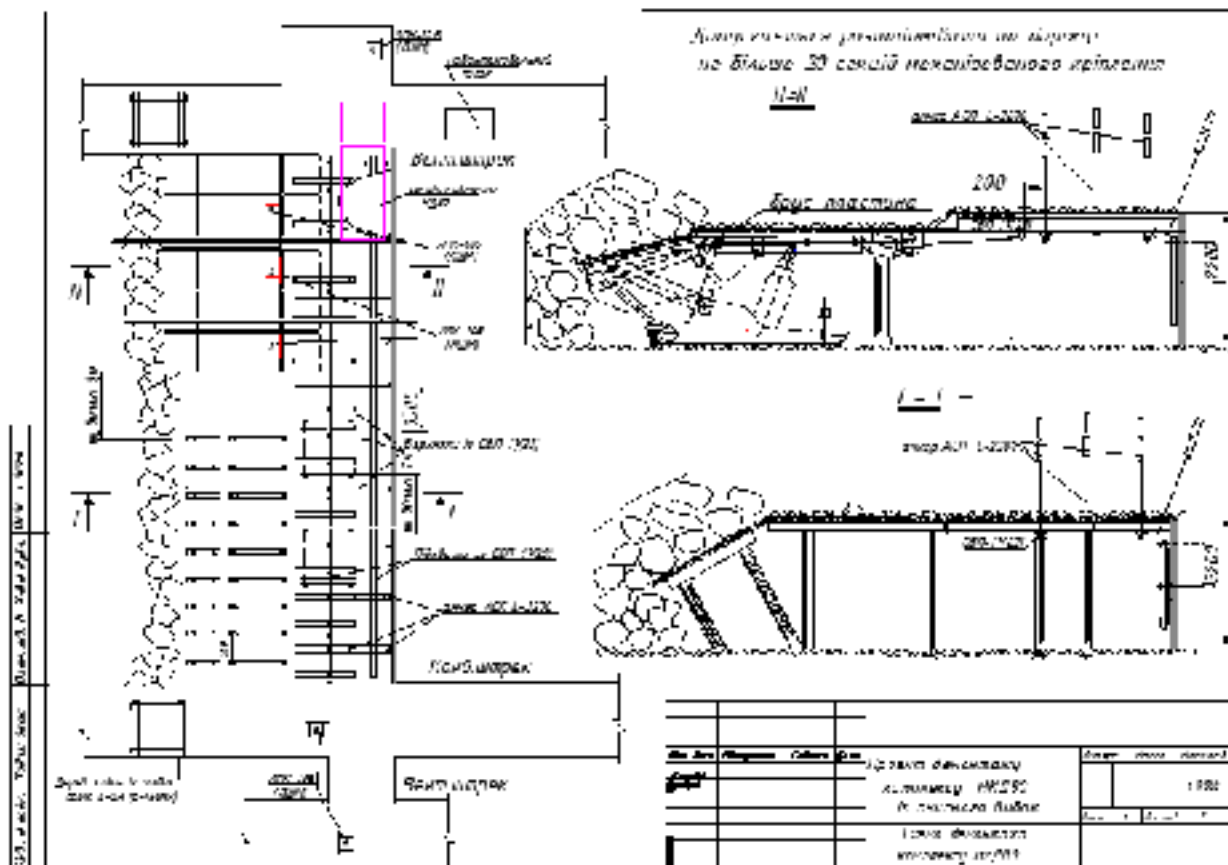


Рисунок 2.6 – Схема демонтажу комплексу МКД80

На сполученні конвеєрного штреку з демонтажною камерою, навпаки перекриття останньої секції, викласти кліт'ю з рудстійок. Посилити кріплення ніші установкою додаткових рудстійок.

Демонтаж проводиться лебідкою ЛПК-10Б № 4, встановленої в ніші вентиляційного штреку в створі з демонтажною камерою. Демонтаж останніх 2-х секцій проводиться в присутності особи старшого нагляду ділянки.

## 2.3 Технологія виконання прийнятих рішень

### 2.3.1 Технологія кріплення демонтажної камери

Перед демонтажем секцій кріплення навпроти демонтажної камери на вентиляційному штреку викладається кліт'я з дерев'яних стійок.

У демонтажній камері повинен перебувати запас кріпильного лісу не менше, ніж на 5 секцій кріплення і добовий запас на вентиляційному штреку.

Після демонтажу секцій кріплення здійснюється кріплення демонтажної камери. За забійній частини під верхняки, раніше заведені на козирок секції, підбиваються дерев'яні стійки  $d=200$  мм. В завалі встановлюється підtrzymка  $l = 2,0$  м на двох дерев'яних стійках.

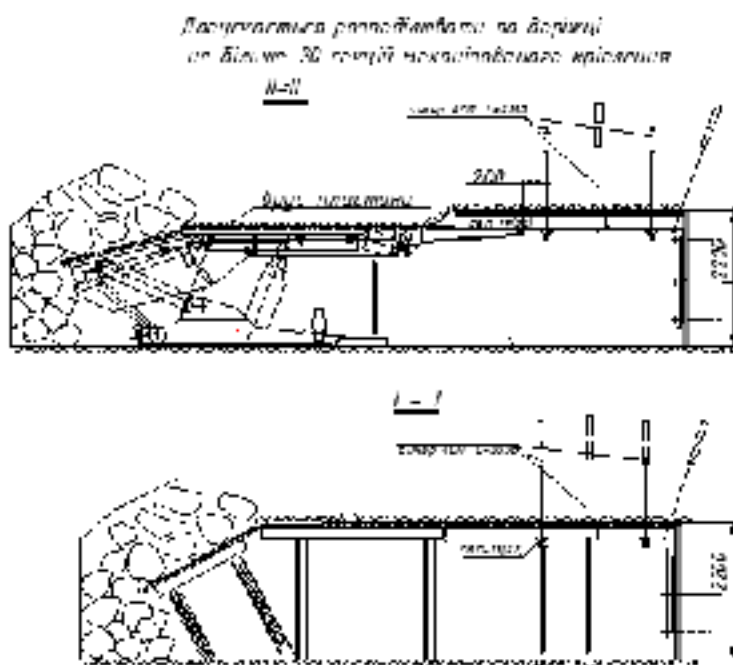


Рисунок 2.7 – Схема демонтажу секцій

Після демонтажу нижньої секції кріплення на сполученні конвеєрного штреку з монтажною камерою викладаються кліті з круглого лісу розміром 2,0 x 2,0 м згідно рис. 2.8.

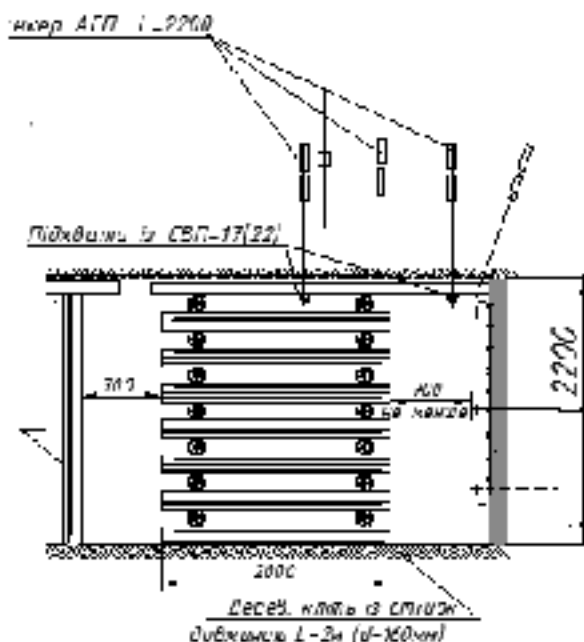


Рисунок 2.8 – Схема кліті для підтримки виробленого простору

Для запобігання обвалення покрівлі через кожні 5 демонтованих секцій викладаються клітини з круглого лісу розміром 2,0x2,0 м. Під час демонтажу секції кріплення можливий прорив бруса і обвалення порід покрівлі, в таких випадках кріплення демонтажної камери в завальній частині посилюється установкою підхватів через 400 мм у місцях вивалу порід. Кріплення вибійної частини демонтажної камери проводиться згідно з паспортом.

### *2.3.2 Технологія переміщення обладнання в демонтажній камері*

Всі операції з доставки обладнання комплексів волоком повинні проводитися робочими, які пройшли спеціальне навчання, ознайомлені під розпис з проектом організації монтажу (демонтажу) і безпечними методами праці. Доставка обладнання може проводитися тільки при надійному

кріплення виробок і забезпечені зазорів не менше 0,25 м між переміщуваним обладнанням і елементами кріплення.

Доставка обладнання волоком по ґрунті проводиться з використанням допоміжних лебідок ЛПК-10Б (або ЛШМ). Швидкість доставки по ґрунті монтажної (демонтажної) камери не повинна перевищувати 30 м/хв. При необхідності доставки устаткування з одночасним застосуванням двох взаємозалежних лебідок (тягової лебідки і лебідки повернення канату або тягової і запобіжної лебідок) вони повинні відповідати за швидкістю руху тягових органів і зусиллям в них.

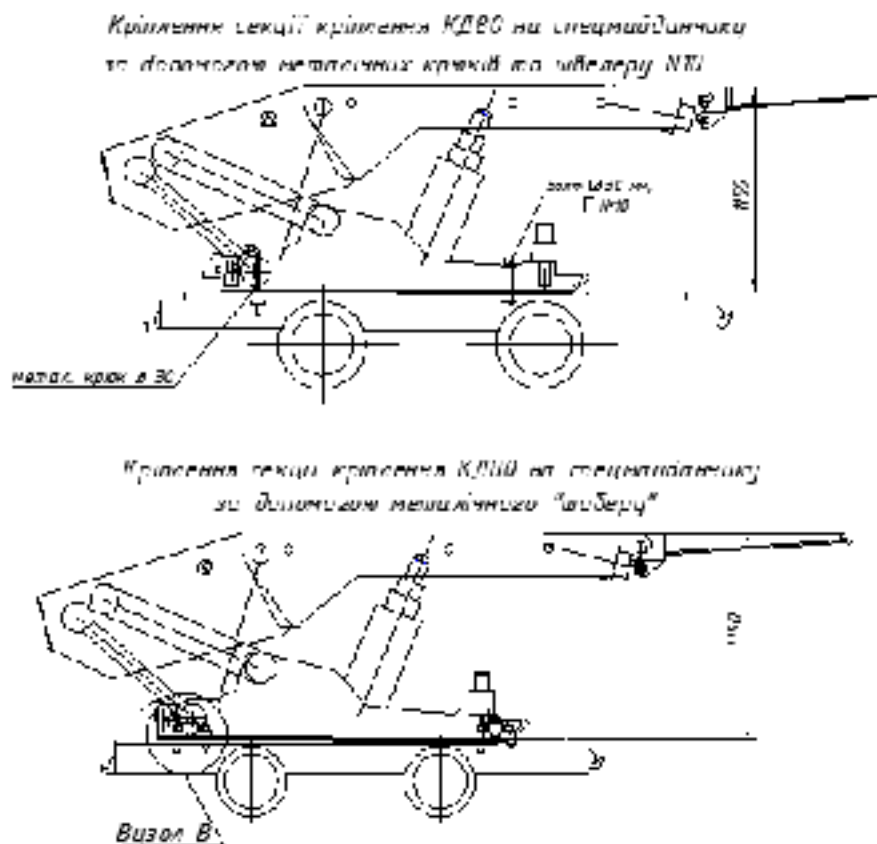


Рисунок 2.9 – Технологія кріплення механізованого кріплення

У разі необхідності управління лебідкою з місця її установки, включення останньої повинно проводитися тільки за сигналом.

Причеплення обладнання до тягового органу (канату, ланцюга) і відчеплення повинні проводитися тільки при вимкненому лебідці. Причеплення і обв'язка обладнання повинні проводитися тільки відповідно до схем, встановленими для даного виду обладнання та виконання даної операції, які відображені в експлуатаційно-технічній документації на це устаткування. Виробляти зачіпку за допомогою ломів і штирів забороняється.

Від'єднання стропів, причіпних пристрій, тягових органів дозволяється проводити тільки після установки доставленого обладнання в стійке положення, що виключає його перекидання або сповзання.

При доставці обладнання волоком по ґрунті в монтажних (демонтажних) камерах трос заплітається згідно з вимогами.

## **2.4 Організація робіт на виробничій дільниці**

### *2.4.1 Організація робіт по демонтажу комплексу МКД80*

Перед початком демонтажу механізованого комплексу МКД80 повинен бути проведений попередній інструктаж робітників щодо безпечної виконання монтажно-демонтажних робіт.

Силами виробничої дільниці проводиться демонтаж і видача енергопоїздів, доставка і установка лебідок згідно даного проекту. Розставляються засоби пожежогасіння згідно вимог ПБ.

Кабельна розводка електричної мережі і засобів сигналізації проводиться згідно схеми електропостачання, затвердженої головним енергетиком шахти.

Проведення робіт здійснюється бригадою з п'яти ланок, чотири з яких зайняті роботами з демонтажу механізованого комплексу МКД80, а одна ремонтна ланка займається доставкою кріпильних матеріалів, обладнання, ремонтом гірничаошахтного обладнання.

Загальне керівництво бригадою здійснює - бригадир. Керівництво на зміні виробляє – ланковий, який несе відповідальність за дотримання паспорта.

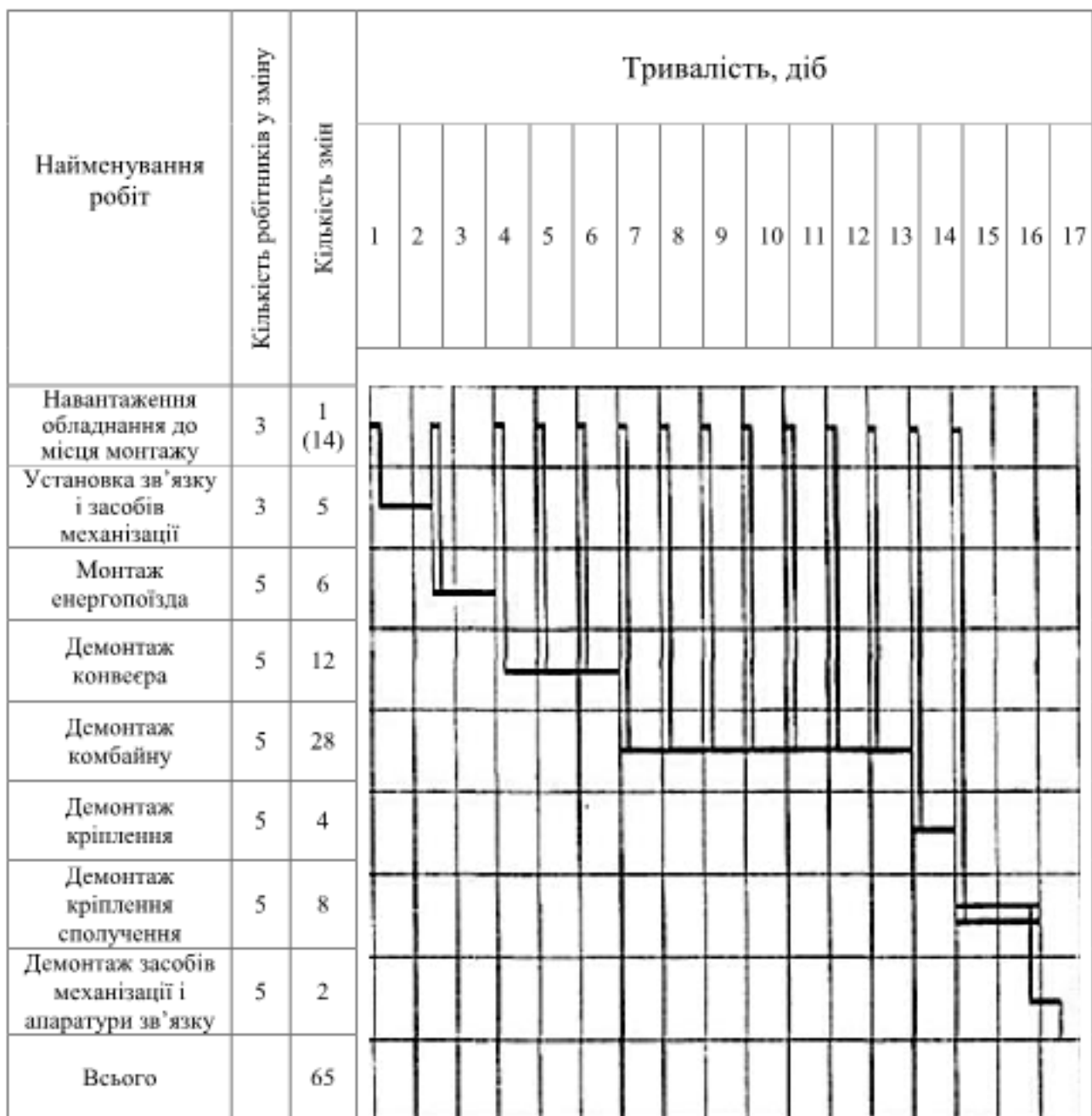


Рисунок 2.10 – Графік організації робіт під час демонтажу комплексу

Згідно ПБ перед початком робіт бригадир, ланковий і робочі зобов'язані перевірити свої робочі місця і привести їх у безпечний стан. При цьому необхідно упевнитися у відповідності кріплення паспорту кріплення,

нормальному провітрюванні і газовій обстановці, пило-вибухобезпеці виробок, а також в справності запобіжних пристрій, кабельної мережі, огорожень, сигналізації та інших засобів безпеки.

Перед початком робіт особа змінного нагляду зобов'язана упевнитися у відповідності кріплення затвердженим паспортом, в забезпеченні робочих місць провітрюванням, засобами пожежогасіння, а також в справності запобіжних пристрій, кабельної мережі, огорожень, сигналізації, засобів зв'язку. Перед початком робіт, машиністи лебідок зобов'язані оглянути кріплення виробки близько лебідки, переконатися в надійності її закріплення, справності гальм (на холостому ходу), упевнитися в цілісності причіпних пристрій, канату, наявності мастильних матеріалів в редукторах лебідок, оглянути шлях доставки вантажу і при необхідності звільнити його.

#### *2.4.2 Розстановка робочих*

Позиція № 1 - демонтажна камера. Працюють 3 людини (№№1,2,3), виробляють демонтаж і розворот секції лебідками №№1,2, видачу секції на транспортну доріжку і далі до лебідці №3, потім здійснюють кріплення демонтажної камери. Старший на позиції робочий № 1, він же ланковий. Робочий №2 обслуговує лебідку №1.

Позиція № 2 - сполучення вентиляційного штреку з демонтажною камерою і ніша, взята в створі з демонтажною камерою на вентиляційному штреку. Працюють 3 людини (№№4, 5, 6), старший на позиції робочий № 4. Здійснюють навантаження і строповку демонтованих секцій. Робочий №6 обслуговує лебідку №4. Розподіл обов'язків всередині ланки проводиться гірничим майстром і бригадиром (ланковим) з урахуванням досвіду і кваліфікації кожного робітника.

Відповіальність за узгодженість дій при демонтажі і транспортуванні обладнання комплексу несе старший робітник на позиції, призначений при отримання наряду старшим. Відповіальність за організацію робіт по

демонтажу комплексу МКД80, створення безпечних умов праці несе начальник дільниці.

## **2.5 Технологічна схема транспорту виробничої дільниці**

### *2.5.1 Характеристика шахтних вантажопотоків*

При відпрацюванні запасів шахтного поля вугілля транспортується з очисних вибоїв за такою ланцюжку: відбитий вугілля за допомогою скребкового конвеєра транспортується з лави на збірний пункт; конвеєром ПТК1 перевантажується на стрічкові конвеєри типу 2ЛТ80У, які зі збірного штреку (протяжністю 1600-2000м) доставляє вугілля на конвеєр 4 східного магістрального конвеєрного штреку, обладнаного конвеєрами типу 1Л100; далі, через вуглеспускних гезенків, на магістральний конвеєрний штрек пласта з1, обладнаного конвеєрами типу 1Л120; далі на 2-й західний МКШ, обладнаного конвеєрами типу 1Л120У; далі на МКШ пласта с5, обладнаного конвеєрами типу 2ЛУ120; далі на конвеєрний вугільний квершлаг, обладнаний конвеєрами типу 2ЛУ120; далі на похилий конвеєрний квершлаг, обладнаний конвеєрами типу 2ЛУ120.

### *2.5.2 Перевірочний розрахунок дільничного стрічкового конвеєру*

Зробимо розрахунок дільничного стрічкового конвеєра за умови навантаження на лаву рівній 1120 т/добу.

Розрахункова продуктивність конвеєра

$$Q_p = \frac{Q_{\text{см}} \cdot k_u}{t_{\text{см}} \cdot k_n} = \frac{1120 \cdot 2,0}{16 \cdot 0,8} = 175(\text{м}^3/\text{год});$$

де:  $t_{\text{см}} = 16$  год – тривалість роботи конвеєра в добу;

$k_u = 2,0$  - коефіцієнт нерівномірності вантажопотоку;

$k_m = 0,6 - 0,8$  – коефіцієнт машинного часу.

Початкові дані: довжина транспортування  $L = 1800$  м, кут нахилу траси  $\beta = 3$  град., напрям транспортування (дільничний штрек по повстанню).

Попередньо вибираємо конвеєр типу 2ЛТ80.

Погонні маси рухомих частин

верхніх роликоопор

$$q_{\text{вр}}^1 = \frac{m_p^1}{l_p^1} = \frac{15,4}{1,400} = 11(\text{кг/м});$$

нижніх роликоопор

$$q_{\text{ниж}}^{11} = \frac{m_p^{11}}{l_p^{11}} = \frac{9,4}{2,800} = 3,36(\text{кг/м});$$

стрічки

$$q_s = m \cdot B = 14,0 \cdot 0,8 = 11,2(\text{кг/м});$$

вантажу

$$q_{\text{вп}} = \frac{Q_p}{3,6 \cdot V} = \frac{175}{3,6 \cdot 2,0} = 24,31(\text{кг/м});$$

$m_p^I, m_p^{II}$  - маси обертових частин верхньої і нижньої ролікопор;

$l_p^I, l_p^{II}$  - відповідно відстані між роликоопорами;

$m$  - маса  $1\text{м}^2$  стрічки;

$B$  – ширина стрічки;

Сила тяги для переміщення гілок

нижньої

$$F_{\text{г-2}} = L \cdot q_s \cdot g \cdot (c_2 \cdot \omega \cdot \cos\beta - \sin\beta) + c_2 \cdot L \cdot q_p^{11} \cdot g \cdot \omega$$

$c_2 = 1,1$  – коефіцієнт, що враховує місцеві опори;

$\omega = 0,04$  коефіцієнт опору руху гілок;

$$F_{1-2} = 1800 \cdot 11,2 \cdot 9,81 \cdot (1,1 \cdot 0,04 \cdot \cos 3^{\circ} - \sin 3^{\circ}) + 1,1 \cdot 1800 \cdot 3,36 \cdot 9,81 \cdot 0,04 = 1100(H);$$

верхньої

$$F_{4-3} = L \cdot g \cdot (q_{sp} + q_s) \cdot (c_2 \cdot \omega \cdot \cos \beta + \sin \beta) + c_2 \cdot L \cdot q_p^{-1} \cdot g \cdot \omega;$$

$$F_{4-3} = 1800 \cdot 9,81 \cdot (24,31 + 11,2) \cdot (1,1 \cdot 0,04 \cdot \cos 3^{\circ} + \sin 3^{\circ}) + 1,1 \cdot 1800 \cdot 11 \cdot 9,81 \cdot 0,04 = 67600(H);$$

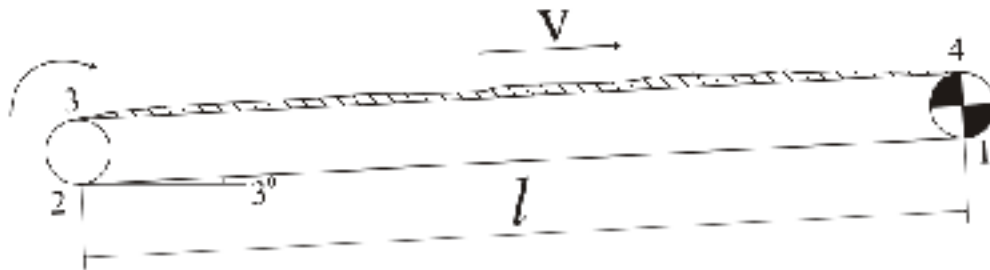


Рисунок 2.11 – Розрахункова схема дільничного транспорту

Тягове зусилля на приводних барабанах при роботі конвеєра:

$$F_{asp} = F_0 = F_{\text{нб.об}} = F_{4-1} = F_{1-2} + F_{4-3} = 1100 + 67600 = 68700H$$

Мінімальна початковий натяг стрічки:

За умовою зчеплення на приводі

$$F_{1min} = F_{c9,min} = \frac{F_{\text{нб.об}} \cdot k_f}{e^{f\alpha^2} - 1} = \frac{68700 \cdot 1,3}{8,17 - 1} = 35440H$$

$k_f = 1,3 - 1,4$  – коефіцієнт запасу міцності стрічки;

$f$  – коефіцієнт тертя зчеплення стрічки і барабана;  $e^{f\alpha^2} = 8,17$ ;

Сила натягу стрічки за умовою провисання вантажний гілки

$$F_{c9,min} = F_{3min} = (3000 - 4000)B = 3500 \cdot 08 = 2800H$$

Максимальний натяг стрічки

$$F_{\max} = F_{1-2} + F_{4-3} + F_{1min} = 1100 + 67600 + 35440 = 104140H$$

Визначаємо руйнівний натяг стрічки

$$F_{\text{паг}} = 9.81 \cdot i \cdot B \cdot \sigma_{sp} = 9.81 \cdot 5 \cdot 80 \cdot 100 = 392400(\text{Н});$$

$i$  - кількість прокладок;

$\sigma_{sp} = 100 \text{ кгс/см}$  - межа міцності однієї прокладки.

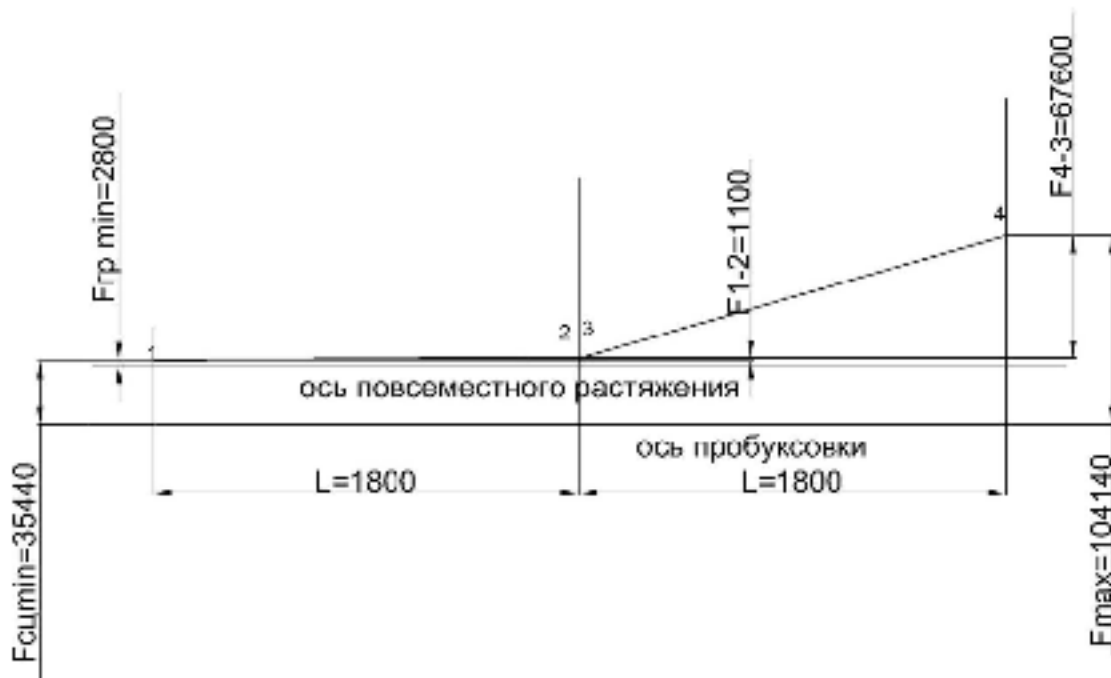


Рисунок 2.12 – Діаграма натягу стрічки конвеєра

Число конвеєрів на задану довжину транспортування

$$n = \frac{F_{\max} \cdot m}{F_{\text{паг}}} = \frac{104140 \cdot 10}{392400} = 2,63(\text{шт});$$

$m = 9-11$  - запас міцності для гумотканинних стрічок;

Потужність двигуна

$$N_{\text{расv}} = \frac{F_{u-c} \cdot V_{\text{ном}} \cdot k_{\text{расv}}}{1000 \eta} = \frac{68700 \cdot 2 \cdot 1,1}{1000 \cdot 0.92} = 164(\text{kNm});$$

$k = 1,1-1,2$  – коефіцієнт режиму, що враховує нерівномірність роботи конвеєра.

За результатами розрахунку видно, що мінімально можливу кількість конвеєрів типу 2ЛТ-80 в дільничній виробленні становить 3 штуки по 600 м кожен. Остаточно на збірному штреку до установки приймаємо три конвеєра

типу 2ЛТ80 з довжиною транспортування L = 600 м кожен.

### *2.5.3 Вибір засобів допоміжного транспорту*

Засоби допоміжного транспорту призначені для доставки матеріалів, обладнання та людей за різними технологічними схемами транспорту. Основними факторами, що визначають види і обсяг перевезень допоміжним транспортом є тип кріплення в очисних і підготовчих вибоях, темпи посування очисних вибоїв, прийнята технологія ведення гірничих робіт, протяжність підтримуваних виробок.

Допоміжні матеріали за видами доставки: лісоматеріали, металева кріплення, сипучі матеріали, залізобетонні вироби, обладнання, в тому числі вузли машин і агрегатів, рідкі та мастильні матеріали.

Для доставки в очисний вибій (проходницький) по виїмкових штреках приймаємо надґрунтову дорогу ДКН-3, призначену для транспортування матеріалів і устаткування гірничими виробками з ухилом до  $\pm 0,09$  (кутом  $\pm 5^\circ$ ). Відстань транспортування до 2000 м.

## **2.6 Вентиляція виробничої дільниці**

Конструювання схеми вентиляції виробляємо на 2020 рік. Приймаємо центральну схему провітрювання. Спосіб провітрювання – всмоктуючий. Провітрювання здійснюється вентиляційною установкою ВРЦД-1,5.

Витрата повітря для очисних і підготовчих виробок проведено на ПЕОМ. Вихідні дані і результати розрахунків наведені на скрин-шотах.

Исходные данные		Значения
Глубина зони метановых газов Но, м		160
Глубина разработки Н, м		140
Длина очистной выработки Соч, м		160
Природная метаноносность пласта х, м <sup>3</sup> /т		2.5
Пластовая влажность угля W, %		8.0
Зольность угля Аз, %		16.7
Выход летучих веществ Vр, %		40.0
Полная мощность угольных пачек пласта Ми, м		0.84
Вынимаемая полезная мощность пласта Мв, м		0.84
Вынимаемая мощность пласта с учетом породных прослоек Мв.пр., м		1.0
Скорость подвижания очистного забоя Vоч, м/сут		4.9
Угол падения пласта, град.		3
Время с момента окончания проведения подготовительной выработки до начала очистных работ, сут		45
Количество охранимых целиков, шт.		0
Ширина охранного целика, м		0.0

Рисунок 2.13 – Фрагмент робочого вікна з вихідними даними

## Характеристика оближених пластов и пропластков.

Индекс оближ. пласти	Мощность угольных пачек тпп, м	Расстояние до разрабатываемого пласта Моп, м	Метаноносность природн. Хпп, м <sup>3</sup> /т	Пластовая влажн. угля W, %	Зольность угля Аз, %	Выход летучих веществ Vр, %	Кофф. дегазации Кд
Подрабатываемые пласти							
с6	0.9	85.0	6.3	7.0	8.8	42.2	0.0
с5	1.1	20.0	7.3	6.0	8.1	42.6	0.0
Надрабатываемые пласти							
с1	0.9	20.0	10.5	5.9	10.1	41.3	0.0

Рисунок 2.14 – Фрагмент робочого вікна з характеристикою зближених пластів та пропластків

Индекс пласти	qпп, м <sup>3</sup> /т	qсп.п м <sup>3</sup> /т	qсп.н м <sup>3</sup> /т	qпор, м <sup>3</sup> /т	qв.п, м <sup>3</sup> /т	qоч, м <sup>3</sup> /т	qущ, м <sup>3</sup> /т	Jв.п, м <sup>3</sup> /с	Jп, м <sup>3</sup> /с	Jв.п.пах м <sup>3</sup> /с
с4	0.59	1.48	0.97	0.06	2.51	3.01	3.09	0.000	0.000	0.0000
с6	1.85	0.00	0.00	0.15	0.15	1.73	2.00	0.000	0.000	0.0000
с5	1.28	0.19	0.17	0.11	0.48	1.56	1.75	0.000	0.000	0.0000
с4	0.00	0.00	0.00	0.00	0.00	0.00	0.00	0.005	0.006	0.0000
с6	0.00	0.00	0.00	0.00	0.00	0.00	0.00	0.008	0.011	0.0000
с5	0.00	0.00	0.00	0.00	0.00	0.00	0.00	0.010	0.015	0.0000

Рисунок 2.15 – Фрагмент робочого вікна з характеристикою розрахунку пронозу метанообільноті гірничих виробок

Исходные данные	Значени
Длина очистной выработки Соч, м	180
Вынимаемая мощность пласта с учетом породных прослойков №в.пр, м	1.0
Плотность угля, т/м <sup>3</sup>	1.26
Коэффициент извлечения угля, доли единицы	0.40
Скорость подвигания очистного забоя Уоч, м/сут	6.30
Допустимая концентрация газа в исходящей С, %	1.3
Концентрация газа в поступающей на выемочный участок вентиляционной струе Св, %	0.5
Относительная газообильность очистной выработки доч, м <sup>3</sup> /т	3.0
Относительная газообильность выемочного участка дуч, м <sup>3</sup> /т	3.1

Рисунок 2.16 – Вихідні дані до розрахунку допустимого навантаження на очисний вибій

Максимально допустиме навантаження на очисну виробку по газовому фактору  $A_{\max} = 1568$  т/доб. перевищує розрахункове навантаження  $A_p = 1210$  т/доб.

Витрата повітря для провітрювання привибійного простору тупикової виробки дорівнює  $Q_{3,1}=2.5$  м<sup>3</sup>/с. Подача вентилятора місцевого провітрювання тупикової виробки  $Q_v = 6.1$  м<sup>3</sup>/с визначена по мінімальній швидкості руху повітря. Витрата повітря, яке необхідно подати до місця установки ВМП дорівнює  $Q_{п.п}=8.7$  м<sup>3</sup>/с.

Витрату повітря для провітрювання виробок зведемо в таблицю 2.4.

Таблиця 2.4 – Витрата повітря для провітрювання гірничих виробок

індекс пласта	Очисна виробка, м <sup>3</sup> /с		Підготовча виробка, м <sup>3</sup> /с		
	лава	виїмкова ділянка	привиб. простір	подача вентилятора	до місця установки
C <sub>4</sub>	6,9	7,2	2,5	6,1	8,7
C <sub>5</sub>	4,6	4,8	2,5	6,1	8,7
C <sub>6</sub>	4,8	5,2	2,5	6,1	8,7

Витрата повітря для підтримуваних виробок.

До підтримуваним відносяться вироблення, які не використовуються для подачі свіжого повітря на виймальних ділянки, в тупикові виробки, в камери і для відводу з них вихідного вентиляційного струменя.

Витрата повітря для таких виробок визначається за формуллою

$$Q_{\text{под},a} = S \cdot V_{\text{min}}$$

де  $V_{\text{min}}$  – мінімально доступна швидкість руху повітря у виробках, провітрюваним за рахунок загально шахтної депресії.

Результати розрахунку зводимо в таблицю 2.5.

Таблиця 2.5 – Кількість повітря для підтримуваних виробок

Найменування виробок	Перетин $S, \text{м}^2$	Мінімальна швидкість $V_{\text{min}}, \text{м}/\text{с}$	Кількість повітря $Q_{\text{под}},$ $\text{м}^3/\text{с}$
1-й Північний МКШ	11,0	0,25	2,8
1-й Східний МКШ	11,0	0,25	2,8
2-й Східний МКШ	11,0	0,25	2,8
2-й Східний МВШ	11,0	0,25	2,8
МЗОШ пл. С <sub>1</sub>	14,0	0,25	3,5
4-й Східний МКШ пл. С <sub>4</sub>	13,0	0,25	3,3
Разом:			17,8

Наведемо результати витрат повітря за споживачами.

Таблиця 2.6 – Результати розрахунку повітря по споживачам

Споживачі повітря	Кількість об'єктів	Витрата повітря, $\text{м}^3/\text{с}$
виймкові ділянки	4	24,4
тупикові виробки	8	69,6
Підтримувані вироблення	6	17,8
камери:		
склади вибухових матеріалів	1	1,0
гараж зарядних	2	4,5
Витоку повітря через вентиляційні споруди:		
глухі перемички	26	11,24
шлюзи	34	66,4
Разом:		194,9

## Загальний витрата повітря по шахті

$$Q_m = 1,1 \cdot 194,9 = 214,4 \text{ (м}^3/\text{с});$$

Наведемо результати розрахунку депресії за всіма виробками.

**Таблиця 2.7 – Результати розрахунку депресії за виробками**

Найменування виробки	номери вузлів	Тип кріпле- ння	$\frac{\alpha}{H \cdot c^2}$	$S, \text{ м}^2$	$K\phi$	$L, \text{ м}$	$\frac{R}{H \cdot c^2}$	$Q, \text{ м}^3/\text{с}$	$h, \text{ Па}$	$V, \text{ м}/\text{с}$
клітьовий стовбур	1-2	бетон	0,032	28,3	3,54	140	0,00093	214,4	42,8	5,83
клітьовий стовбур	2-3	-	0,032	28,3	3,54	20	0,00013	223,9	6,7	6,09
клітьовий стовбур	3-4	-	0,032	28,3	3,54	30	0,00020	208,5	8,7	5,67
клітьовий стовбур	4-5	-	0,032	28,3	3,54	45	0,00030	193,1	11,2	5,25
квершлаг на доп. ств.	5-6	-	0,0039	18,3	3,8	100	0,00026	163,1	6,9	6,86
квершлаг на доп. ств.	6-7	-	0,0039	18,3	3,8	20	0,00005	163,1	1,4	6,86
квершлаг на доп. ств.	7-8	-	0,0039	18,3	3,8	420	0,00109	160,8	28,1	6,76
маг. втк. штрек	8-9	СВП	0,02	14	3,8	410	0,01062	89,4	84,9	4,91
1й ЮМОШ	9-10	-	0,02	14	3,8	100	0,00259	119,4	36,9	6,56
1й ЮМОШ	10-11	-	0,02	14	3,8	300	0,00777	116,9	106,2	6,42
1й ЮМОШ	11-12	-	0,02	14	3,8	750	0,01943	114,9	256,5	6,31
1й ЮМОШ	12-13	-	0,02	14	3,8	100	0,00259	112,9	33,0	6,20
1й ЮМОШ	13-14	-	0,02	14	3,8	300	0,00777	83,4	54,1	4,58
1й ЮМОШ	14-15	-	0,02	14	3,8	750	0,01943	81,4	128,7	4,47
1й ЮМОШ	15-16	-	0,02	14	3,8	10	0,00026	79,4	1,6	4,36
1й ЮМОШ	16-17	-	0,02	14	3,8	40	0,00104	79,4	6,5	4,36
4й ВМОШ	17-18	-	0,02	13	3,8	50	0,00156	75,9	9,0	4,49
4й ВМОШ	18-19	-	0,02	13	3,8	580	0,01809	73,9	98,8	4,37
4й ВМОШ	19-20	-	0,02	13	3,8	180	0,00561	65,2	23,9	3,86
4й ВМОШ	20-21	-	0,02	13	3,8	540	0,01684	63,7	68,3	3,77
4й ВМОШ	21-22	-	0,02	13	3,8	180	0,00561	53,5	16,1	3,17
4й ВМОШ	22-23	-	0,02	13	3,8	720	0,02245	43,3	42,1	2,56
420 борт. штрек	23-24	-	0,021	10,2	3,8	70	0,00420	8,7	0,3	0,66
420 борт. штрек	24-25	-	0,021	10,2	3,8	1200	0,07205	7,2	3,7	0,54
420 лава	25-26	ДМ	-	2,1	-	160	2,48000	6,9	118,1	3,29
420 зб. штрек	26-27	СВП	0,025	10,2	3,8	1200	0,08577	7,2	4,4	0,54
зайд 420 зб. штрек	27-28	-	0,025	10,2	3,8	70	0,00500	8,7	0,4	0,66
4й ВМКШ	28-29	-	0,025	13	3,8	180	0,00702	24,2	4,1	1,43
4й ВМКШ	29-30	-	0,025	13	3,8	720	0,02806	25,7	18,5	1,52
4й ВМКШ	30-31	-	0,025	13	3,8	180	0,00702	35,9	9,0	2,12
4й ВМКШ	31-32	-	0,025	13	3,8	540	0,02105	46,1	44,7	2,73
4й ВМКШ	32-33	-	0,025	13	3,8	180	0,00702	54,8	21,1	3,24
4й ВМКШ	33-34	-	0,025	13	3,8	580	0,02261	56,3	71,7	3,33
Зайд на 4й ВМКШ	34-35	-	0,025	13	3,8	70	0,00273	58,3	9,3	3,45
МКШ пл. С <sub>1</sub>	35-36	-	0,025	14	3,8	800	0,02591	63,8	105,5	3,51
МКШ пл. С <sub>1</sub>	36-37	-	0,025	14	3,8	400	0,01295	102,1	135,0	5,61
2й ЗМКШ	37-38	-	0,025	14	3,8	160	0,00518	104,1	56,2	5,72
1й ЮМКШ	38-39	-	0,025	14	3,8	1440	0,04663	114,9	615,7	6,31
вуглеспускний гезенки	39-40	бетон	0,0039	9,3	3,54	20	0,00026	117,4	3,6	9,71
конв. уг. кв-г	40-41	СВП	0,025	15,9	3,8	370	0,00872	117,4	120,1	5,68
конв. уг. кв-г	41-42	-	0,025	15,9	3,8	370	0,00872	119,9	125,3	5,80
збійка між кв-ми	42-43	-	0,025	15,9	3,8	50	0,00118	122,4	17,6	5,92
накл. конв. кв-г.	43-44	-	0,025	15,9	3,8	50	0,00118	124,9	18,4	6,04
накл. конв. кв-г	44-45	-	0,025	15,9	3,8	100	0,00236	127,4	38,2	6,16
накл. конв. кв-г	45-46	-	0,025	15,9	3,8	200	0,00471	129,9	79,5	6,28

Продовження табл. 2.7

Найменування виробки	номери вузлів	Тип кріпле-ння	$\frac{\alpha}{M^4}$	$S, \text{м}^2$	$K\phi$	$L, \text{м}$	$\frac{R}{M^3}$	$Q, \text{м}^3/\text{с}$	$h, \text{Па}$	$V, \text{м}/\text{с}$
накл. конв. кв-г	46-47	-	0,025	15,9	3,8	70	0,00165	127,9	27,0	6,19
збійка гл. стовбура	47-48	бетон	0,025	18,3	3,8	50	0,00083	206,4	35,3	8,68
скіповий стовбур	48-49	бетон	0,0299	44,2	3,54	140	0,00029	214,4	13,1	3,73
Усього:	-	-	-	-	-	-	-	-	2768,2	-

Для автоматичного оперативного управління газовою обстановкою (концентрацією метану) в діючих виробках шахти з метою зняття обмежень на продуктивність виймкових дільниць і шахти по газовому фактору, економії електроенергії на провітрювання і забезпечення високого рівня безпеки гірничих робіт, проектом передбачається впровадження системи автоматичного управління вентиляції шахти (САУ ВШ).

## 2.7 Охорона праці

### 2.7.1 Аналіз потенційних шкідливих і небезпечних виробничих факторів

На шахті мають місце такі небезпечні та шкідливі виробничі фактори:

- рухомі машини, механізми, рухомі частини виробничого обладнання;
- обвалиються гірські породи;
- підвищена запиленість повітря робочої зони;
- підвищений рівень шуму на робочому місці (біля ВМП, до 130 дБ, під час роботи очисного комбайну, компресорні установки);
- підвищений рівень вібрації (робота з перфораторами, на електровозах, прохідницьких комбайнах);
- небезпека ураження електричним струмом;
- відсутність природного освітлення;
- первово-психічні перевантаження, монотонність праці.

### 2.7.2 Протипожежний захист виймкової дільниці

У проекті розроблена схема протипожежного захисту виймкової дільниці пл. С<sub>4</sub> на період побудови схеми вентиляції. Протипожежні засоби встановлюються в гірничих виробках у відповідності з [1].

Розстановка противожежних технічних засобів наведена на схемі виїмкової дільниці рис. 2.17, необхідні засоби пожежогасіння, обладнання та матеріали зведені в таблиці 2.8.

Таблиця 2.8 – Розрахунок коштів, обладнання і матеріалів для противожежного захисту видобувної дільниці

Найменування обладнання	Місце розташування	Од. вим.	Кількість	всього
установка автоматичного пожежогасіння УВПК-1-03	приводна головка стрічкового конвеєра	шт.	1	4
трубопровід сталевий Ø 100 мм	збірний штрек	м.	1300	1300
	бортовий штрек	м.	1300	1300
	разом:	м.		2600
манометр ЕКМ	приводна головка стрічкового конвеєра 2ЛТ-80 №1	шт.	1	1
засувки Ø 100 мм	відгалуження на збірний штрек	шт.	1	1
	відгалуження на бортовий штрек	шт.	1	1
	через кожні 400 м. по довжині трубопроводу	шт.	1	3
	разом:	шт.		6
крани пожежні з головками ГЦ-70	за збірним штреком через кожні 50 м	шт.	1	26
	приводні станції стрічкових конвеєрів	шт.	1	4
	за бортовим штреком через кожні 200 м	шт.	1	6
	разом:	шт.		36
рукава пожежні Ø 66 мм	збірний штрек через кожні 50 м	шт.	1	26
	по обидва боки приводних станцій стрічкових конвеєрів	шт.	1	4
	підземний пункт ВГК	шт.	2	2
	бортовий штрек в 20 м від	шт.	1	2

	вікна лави і на сполученні з магістральним відкочувальним штреком			
	разом:	шт.		34
стовбури пожежні з уприскуванням Ø 19 мм.	у кожного пожежного крана, де розташовані пожежні рукави	шт.	1	34
	разом:	шт.		36
вогнегасники порошкові ОПШ-10	збірний штрек, через кожні 100 м по довжині стрічкових конвеєрів	шт.	1	13
	привідні й натяжні станції стрічкових конвеєрів	шт.	2	4
	виконавчі електричні, що знаходяться поза камерами	шт.	1	2
	у розподільних пунктів	шт.	2	10
	сполучення лави з бортовим штреком	шт.	1	1
	вантажний пункт лави	шт.	1	1
	пересувні підстанції	шт.	2	4
	разом:	шт.		35
вогнегасники пінні ОХП-5	збірний штрек, через кожні 100 м по довжині стрічкових конвеєрів	шт.	1	13
	привідні й натяжні секції стрічкових конвеєрів	шт.	2	4
	у розподільних пунктів	шт.	1	5
	сполучення лави з бортовим штреком	шт.	1	1
	вантажний пункт лави	шт.	1	1
	разом:	шт.		24
ящики з піском 0,2 м <sup>3</sup> і лопата	у розподільних пунктів	шт.	1	5
	пересувні підстанції	шт.	1	2
	разом:	шт.		7
манометри	на кінцях трубопроводів по збірному і бортовому штреку	шт.	1	2

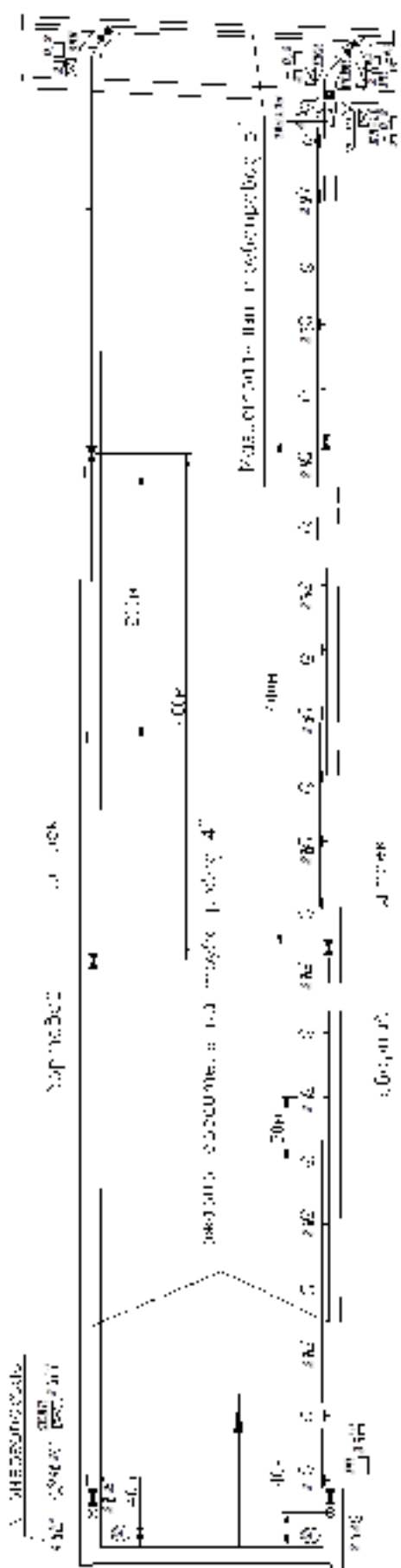


Рисунок 2.17 – Схема протипожежного захисту виймальної дільниці

### *2.7.3 Оперативна частина плану ліквідації аварії*

Наведемо в таблиці 2.9 заходи із порятунку людей і порядку ліквідації аварій.

Таблиця 2.9 – Оперативна частина плану ліквідації аварій при виникненні пожежі на 4 східному магістральному конвеєрному штреку під час виникнення пожежі

№	Заходи з порятунку людей і ліквідації аварії	Виконавець відповідальний за виконання заходів
1	викликати оперативний взвод 1 ДВГРС	<u>гірничий диспетчер</u> телефоністка
2	забезпечити прибуття на шахту відділення ДВГРС відповідно до диспозиції виїздів на аварії	<u>командир загону</u> черговий біля телефону ДВГРС
3	забезпечити нормальну роботу вентилятора головного провітрювання.	<u>головний механік</u> гірничий диспетчер черговий слюсар на ВГП.
4	сповістити людей про аварію. вивести всіх людей з шахти.	<u>гірничий диспетчер</u> змінні ІТП ділянок члени ВГК
5	послати не менше двох членів ВГК 402 лави з респіраторами та засобами пожежогасіння в 4- й ВМКШ до місця пожежі.	<u>головний інженер</u> гірничий диспетчер, Члени ВГК
6	забезпечити подачу води по протипожежному ставу 4-го ВМКШ.	<u>головний механік</u> черговий слюсар УСО
7	підготувати поїзд на р 235 м для доставки відділень ДВГРС до місця аварії	<u>начальник ВШТ</u> підземний диспетчер
8	направити відділення ДВГРС для виведення людей і ліквідації аварії	<u>головний інженер</u> командир ДВГРС

Наведемо в таблиці 2.10 шлях і час виходу людей при виникненні пожежі на 4 східному магістральному конвеєрному штреку під час виникнення пожежі із зазначенням позицій та дій.

Таблиця 2.10 – Шляхи та час виходу людей у разі виникнення пожежі

Шляхи і час виходу людей	Шляхи руху відділенні ДВГРС та завдання
<u>Працівники, 428 збірного штреку, 420 лави, 410 збірного і 410 бортового, а також 402 лави після оповіщення про аварії і по свіжому струмені зі своїх місць роботи виходять на 4ВМВШ (8-15 хв.), по ньому (10-26 хв.), далі по МЗОШ пл. С<sub>1</sub> (12 хв.), (12 хв.), виходять до допоміжному стовбуру на гор.235 м.</u>	1-е відділення ДВГРС по допоміжному стовбуру на горизонт 235 м, по пристовбровому двору, 1 південному МЗОШ, по МЗОШ пл. С <sub>1</sub> , на 4ВМКШ до місця пожежі для його обстеження і виведення людей
<u>Працівники знаходяться на 4 ВМКШ включаються в саморятівники вживають заходів по ліквідації пожежі, в разі неможливості його ліквідувати слідують на 4ВМВШ (8-15 хв.), по ньому (10-26 хв.), далі по МЗОШ пл. С<sub>1</sub> (12 хв.), 1 південному МЗОШ (12 хв.), виходять до допоміжному стовбуру на гор.235 м</u>	2-е відділення ДВГРС по допоміжному стовбуру на горизонт 235 м, по пристовбровому двору, 1 південному МЗОШ, по МЗОШ пл. С <sub>1</sub> , на 4ВМКШ до місця пожежі для його гасіння
	3-е відділення ДВГРС по допоміжному стовбуру на горизонт 190 м, по 1 ВМОШ, збійки з 1 ЮМКШ, по 1 ЮМКШ, 2 ВМКШ, МКШ пл. С <sub>1</sub> , ЗВМВШ, 428 бортовому штреку, збійки на 4ВМКШ, по 4 ВМКШ до місця пожежі для його гасіння

## 2.8 Розрахунок собівартості 1 т видобутку корисної копалини

Собівартість видобутку вугілля по шахті визначається укрупненим розрахунком з використанням звітних даних за попередній рік і внесенням поправок за основними статтями калькуляції, обумовленим прийнятими в проекті конкретними рішеннями.

1. Затрати на оплату праці визначаються за формулою

$$P_{3\pi} = P_{\phi} \cdot \left( 1 - \alpha_3 \cdot \left( 1 - \frac{D_{\phi}}{D_B} \right) \right) + \frac{\Delta Z}{D_B}, \text{ у.о./т};$$

де  $D_{\phi}$  і  $D_B$  – відповідно фактичний і запланований за проектом річний видобуток, тис. т;

$P_{\phi}$  і  $P_{3\pi}$  – відповідно фактична і проектна собівартість по елементу «витрати на оплату праці»,  $P_{\phi} = 121,02$  у.о./т;

$\alpha_3$  – питома вага умовно – постійних витрат в елементі собівартості, «витрати на оплату праці»,  $\alpha_3 = 0,5$  частки од;

$\Delta Z$  – зменшення фонду заробітної плати при здійсненні проектних рішень, тис. у.о./рік,

$$\Delta Z = D_{\phi} \cdot P_{\phi} \cdot \frac{\Delta N}{N}, \text{ тис. у.о./рік};$$

де  $N$  – чисельність працівників з видобутку за звітом шахти;

$\Delta N$  – чисельність працівників, які вводяться відповідно до проектних рішень,  $\Delta N = 50$  люд.

$$\Delta Z = 1200 \cdot 121,02 \cdot \frac{50}{2684} = 2705 \text{ (тис. у.о.)};$$

$$P_{3\pi} = 121,02 \cdot \left( 1 - 0,5 \cdot \left( 1 - \frac{1200}{1331} \right) \right) + \frac{2705}{1331} = 117,10 \text{ (у.о./т)}.$$

2. Нарахування на заробітну плату:

$$P_{H\pi} = H_3 \cdot P_{3\pi}$$

$$P_{H\pi} = 0,506 \cdot 117,10 = 59,25 \text{ (у.о./т)}.$$

3. Допоміжні матеріали:

$$P_{M\pi} = P_{M\phi} \cdot \left( 1 - \alpha_M \cdot \left( 1 - \frac{D_{\phi}}{D_B} \right) \right) + \frac{\Delta M}{D_B}$$

де  $P_{mat}$  і  $P_{mf}$  – відповідно проектна та фактична собівартість по елементу «матеріали»,  $P_{mf} = 84,24$  у.о./т;

$\Delta M$  – річне подорожчання або економія матеріалів;

$\alpha_u$  – питома вага умовно-постійних витрат в елементі собівартості «матеріали»,  $\alpha_u = 0,507$  частки од.

$$\Delta M = M_{\phi} \cdot A_{co\phi}^{\phi} - M_{ap} \cdot A_{co\phi}^{\pi} = 4,2 \cdot 381 - 4,2 \cdot 250 = 550,2 (\text{тыс. у.о.})$$

$M_{\phi}$ ,  $M_{ap}$  – дільнична собівартість матеріалів за фактом і проекту відповідно, у.о./т;

$A_{co\phi}^{\pi}$ ,  $A_{co\phi}^{\phi}$  – річний дільничий видобуток за фактом і проекту відповідно, тис. т;

$$P_{mat} = 84,24 \cdot \left( 1 - 0,507 \cdot \left( 1 - \frac{1200}{1331} \right) \right) + \frac{550,2}{1331} = 80,45 (\text{у.о.}/m)$$

4. Куплені вироби і послуги виробничого характеру:

$$P_{xmt} = P_{xmf} \cdot K, \text{ у.о./т};$$

де  $P_{xmt}$  і  $P_{xmf}$  – відповідно проектна та фактична собівартість по елементу «послуги виробничого характеру»,  $P_{xmf} = 70,90$  у.о./т;

$\varDelta_o$  – поправочний коефіцієнт,  $K = 0,95$ .

$$P_{xmt} = 70,90 \cdot 0,95 = 67,36 \text{ у.о./т.}$$

5. Паливо:

$$P_{tt} = P_{t\phi} \cdot K, \text{ у.о./т};$$

де  $P_{tt}$  і  $P_{t\phi}$  – відповідно проектна та фактична собівартість по елементу «паливо»,  $P_{t\phi} = 10,83$  у.о./т;

$\varDelta_0$  – поправочний коефіцієнт,  $K = 0,9$ .

$$P_m = 10,83 \times 0,9 = 9,75 \text{ у.о./т.}$$

6. Електроенергія:

$$P_{\text{зп}} = P_{\text{зф}} \cdot \left( 1 - \alpha_3 \cdot \left( 1 - \frac{\varDelta_\phi}{\varDelta_n} \right) \right) + \frac{\Delta \mathcal{E}}{\varDelta_n}$$

де  $P_{\text{зп}}$  і  $P_{\text{зф}}$  – відповідно проектна та фактична собівартість по елементу «електроенергія»,  $P_{\text{зф}} = 45,92 \text{ у.о./т.}$

$\Delta E$  – річне подорожчання (або економія) витрати електроенергії, тис. у.о.

$$\Delta \mathcal{E} = Z_{\text{зп}}^{\text{доb}} \cdot \varDelta_n - Z_{\text{зф}}^{\text{доb}} \cdot \varDelta_\phi,$$

$Z_{\text{зп}}^{\text{доb}}$   $Z_{\text{зф}}^{\text{доb}}$  – проектна і фактична собівартість по елементу «електроенергія» по очисній ділянці, у.о./т.

$$\Delta \mathcal{E} = 8,2 \cdot 381 - 9,12 \cdot 250 = 844,2 \text{ (тис. у.о.)};$$

$\alpha_3$  – питома вага умовно-постійних витрат в елементі собівартості «електроенергія»,  $\alpha_3 = 0,678$  частки од.

$$P_{\text{зп}} = 45,92 \cdot \left( 1 - 0,687 \cdot \left( 1 - \frac{1200}{1331} \right) \right) + \frac{844,2}{1331} = 43,45 \text{ (у.о./т)};$$

7. Амортизаційні відрахування:

$$P_{\text{зп}} = P_{\text{зф}} \cdot \left( 1 - \alpha_4 \cdot \left( 1 - \frac{\varDelta_\phi}{\varDelta_n} \right) \right) + \frac{\Delta A}{\varDelta_n}$$

де  $P_{AP}$  і  $P_{a\phi}$  – відповідно проектна та фактична собівартість по елементу «амортизація»,  $P_{a\phi} = 98,28$  у.о./т;

$\Delta A$  – зміна річної суми амортизаційних відрахувань, викликане проектним рішенням, тис. у.о.;

$$\Delta A = A_a^{cod.yw} - A_\phi^{cod.yw}$$

$A_a^{cod.yw}$ ,  $A_\phi^{cod.yw}$  – проектні та фактичні річні відрахування на амортизацію по очисному вибою, тис. у.о..

$$\Delta A = 7419,1 - 104,8 = 7314,3 \text{ (тис.у.о.)};$$

$\alpha_a$  – питома вага умовно-постійних витрат в елементі собівартості «амортизація»,  $\alpha_a = 0,717$  частки од.

$$P_{AP} = 98,28 \cdot \left( 1 - 0,717 \cdot \left( 1 - \frac{1200}{1331} \right) \right) + \frac{7314,3}{1331} = 96,84 \text{ (у.о./м)}$$

8. Інші витрати:

$$P_{IT} = P_{IT\phi} \cdot \left( 1 - \alpha_n \cdot \left( 1 - \frac{D_\phi}{D_n} \right) \right)$$

де  $P_{IT}$  і  $P_{IT\phi}$  – відповідно проектна та фактична собівартість по елементу «інші витрати»,  $P_{IT\phi} = 20,68$  у.о./т;

$\alpha_n$  – питома вага умовно-постійних витрат в елементі собівартості «інші витрати»,  $\alpha_n = 0,913$  частки. од.

$$P_{IT} = 20,68 \cdot \left( 1 - 0,913 \cdot \left( 1 - \frac{1200}{1331} \right) \right) = 18,82 \text{ (у.о./м)},$$

В таблиці 2.11 наведено результати розрахунків за елементами витрат.

Таблиця 2.11 – Результати розрахунків собівартості за елементами витрат

Елементи витрат	Витрати, у.о.			
	по проекту		по факту	
	на 1т	на весь обсяг	на 1т	на весь обсяг
1 матеріальні витрати	201,01	267544	216,24	259488
1.1 паливо	9,75	12977,3	10,83	12996
1.2 електроенергія з боку	43,45	57832	50,27	60324
1.3 послуги виробничого характеру	67,36	89656,2	70,9	85080
1.4 допоміжні матеріали	80,45	107079	84,24	101088
2. витрати на оплату праці	117,10	155860	121,02	145224
3. нарахування на заробітну плату	59,25	78865,2	61,24	73488
4. амортизація основних фондів	96,84	128894	98,25	117900
5. інші грошові витрати	18,82	25049,4	20,68	24816
позвавиробничі витрати	10,80	14374,8	10,8	12960
повна собівартість	503,82	670588	528,23	633876
валові витрати	406,98	541693	429,98	515976

Економія відбувається за рахунок зниження витрат допоміжних матеріалів, а також за рахунок скорочення невиробничих витрат.

Вартість реалізованого вугілля, продукції допоміжних підсобних цехів і послуг складають валовий дохід шахти.

Таблиця 2.12 – Техніко-економічні показники проекту

Найменування показників	Од. вимір.	величина показників		відхилення показників	
		проект	факт.	±	%
обліковий штат:					
робочих на очисних роботах	люд.	620	570	50	8,77
робітників з видобутку вугілля	люд.	2420	2370	50	2,11
трудящих на шахті	люд.	2734	2684	50	1,86
змінна продуктивність праці:	т/люд.	2,77	2,72	0,05	1,84

Найменування показників	Од. вимір.	величина показників		відхилення показників	
		проект	факт.	±	%
робочого на очисних роботах робітника з видобутку вугілля	т/люд.	0,71	0,65	0,06	9,23
річна продуктивність праці: робітника з видобутку вугілля трудящого по шахті	т/люд.	550,00	506,33	43,67	8,62
	т/люд.	486,83	447,09	39,74	8,89
валові витрати	тис. у.о./рік	541693	515976	25718	4,98
амортизаційні відрахування	тис. у.о./рік	128894	117900	10994	9,32
валовий дохід	тис. у.о./рік	712085	642000	70085	10,92
ціна на вугілля	у.о./т	535	535	0	0,00
собівартість вугілля	у.о./т	503,82	528,23	-24,41	-4,62
вартість основних фондів	млн у.о.	438050	425000	13050	3,07
скоригований прибуток (збиток)	тис. у.о./рік	41497	8124	33373	410,80
чистий прибуток (збиток)	тис. у.о./рік	31123	6093	25030	410,80
загальна рентабельність виробництва	%	9,13	1,84	7,29	396,20
розрахункова рентабельність виробництва	%	6,85	1,38	5,47	396,38
річний економічний ефект за проектом	тис. у.о./рік	25030			

Отже річний економічний ефект від запровадження нової технології демонтажу, а також пришвидшення вводу в експлуатацію нового очисного вибою складе 25030 тис. у.о.

## 2.9 Висновки

1. В процесі виконання проекту запропоновано нову технологію проведення демонтажу механізованого комплексу МКД80. На відміну від існуючої технології запропонована технологія передбачає попереднє спорудження демонтажної камери.

2. Впровадження нової технології дозволить скоротити часові витрати на демонтаж комплексу МКД80, а також забезпечить більш безпечні умови праці.

3. Для заданих гірничо-геологічних умов визначено способи кріплення демонтажної камери, проведено розрахунок параметрів обладнання, запропоновано структурну схему демонтажу, проведено побудову планограми робіт, а також описано технологію демонтажу.

4. В результаті виконання проекту економія відбувається за рахунок зниження витрат допоміжних матеріалів, а також за рахунок скорочення невиробничих витрат.

5. Очікуваний річний економічний ефект від запровадження нової технології демонтажу, а також пришвидшення вводу в експлуатацію нового вибою складе 25030 тис. у.о..

## ВИСНОВКИ

В результаті виконання кваліфікаційної роботи запропоновано нову структуру циклу демонтажу механізованого комплексу МКД80. Замість існуючої структури, яка передбачає наявність демонтажної камери перед відпрацюванням очисного вибою запропоновано зводити демонтажну камеру за допомогою прохідницького обладнання, попередньо перед завершенням відпрацювання вибою. Запропонована структура відрізняється від існуючої меншою питомою собівартістю видобутку, вищою надійністю, забезпечує безпечніші умови праці, а також дозволяє підвищити стійкість виробок та скоротити часові витрати на демонтаж комплексу.

Питома собівартість 1 т вугілля від запровадження нової технології знизиться на 25 у.о./т (528 у.о./т – для існуючої, 503 у.о./т – для запропонованої). В результаті виконання проекту економія відбувається за рахунок зниження витрат допоміжних матеріалів, а також за рахунок скорочення невиробничих витрат. Очікуваний річний економічний ефект від запровадження нової технології демонтажу, а також пришвидшення строків вводу в експлуатацію нового комплексу складе 25030 тис. у.о.

Кошти, отримані від застосування технологічних рішень можна вкласти в оновлення матеріально-технічної бази шахти. Адже сучасні комплекси машин і механізмів дозволяють забезпечувати високі навантаження на очисні вибої.

## ПЕРЕЛІК ПОСИЛАНЬ

1. НПАОП 10.0-1.01-10 Правила безпеки у вугільних шахтах. – К.: Друкарня ДП «Редакція журналу «Охорона праці» 2010. – 52 с.
2. Збірник інструкцій по правилам безпеки у вугільних шахтах. Том 1.- К.: Основа, 2003. – 478 с.
3. Збірник інструкцій по правилам безпеки у вугільних шахтах. Том 2.- К.: Основа, 2003. – 409 с.
4. НПАОП 0.00-1.66-13. Правила безпеки під час поводження з вибуховими матеріалами промислового призначення. – Затв. Наказом Міністерства енергетики та вугільної промисловості України 12.06.2013. – Київ: Норматив, 2013. – 127 с.
5. НПАОП 0.00-1.77-16. Правила безпеки під час розробки родовищ рудних та нерудних корисних копалин підземним способом. – Затв. Наказом Мін. соціальної політики України 23.12.2016. – Київ: Норматив, 2016. – 178 с.
6. Задачник по подземной разработке угольных месторождений / Под ред. К.Ф. Сапицького. - М.: Недра, 1981. – 311 с.
7. Яцких В.Г., Спектор Л.А., Кучеревський А.Г. Горные машины и комплексы. - М.: Недра, 1984. – 400 с.
8. Гелескул М.І., Каретников В.Н. Справочник по креплению капитальных и подготовительных горных выработок. - М.: Недра, 1982. – 479 с.
9. Технологія підземної розробки пластових родовищ корисних копалин: Підручник для вузів / Бондаренко В.І., Кузьменко О.М., Грядущий Ю.Б., Гайдук В.А., Колоколов О.В., Табаченко Н.М., Почепов В.М. – Дніпропетровськ, 2005. – 708с.
10. Бурчак А.С., Малкін А.С. Проектирование предприятий по подземным способом добычи полезных ископаемых. справочник. - М.: Недра, 1991. – 399 с.

11. Справочник. Подземный транспорт шахт и рудников. Под общей ред. Г.Я. Пейсаховича, И.П. Ремизова. - М.: Недра, 1985. – 565 с.
12. Рудничная вентиляция. Справочник. - М.: Недра, 1988. – 440 с.
13. Охорона праці (підручник для студентів гірничих спеціальностей вищих закладів освіти) / За редакцією К.Н.Ткачука – К. 1998. – 320 с.
14. Іщук І.Г., Поздняков Г.А. Средства комплексного обеспыливания горных предприятий. Справочник. - М.: Недра, 1991. – 253 с.
15. Керівництво по боротьбі з пилом у вугільних і сланцевих шахтах. - М.: Недра, 1979. – 319 с.
16. Единые правила охраны недр при разработке месторождений твердых полезных ископаемых. - М.: Недра, 1987. – 60 с.
17. Красавин А.П. Защита окружающей среды в угольной промышленности. - М.: Недра, 1991. – 221 с.
18. Укрупненные комплексные нормы выработки для шахт Донецкого и Львовско-Волынского угольных бассейнов. - К.: МУПУ, Доповнення та зміни, 2001. – 586 с.
19. Програма та методичні вказівки до виконання кваліфікаційної роботи бакалавра спеціальності 184 Гірництво (освітньо-професійна програма «Гірництво», блок 1 «Підземна розробка родовищ» та блок 2 «Інжиніринг гірництва») / Упоряд.: В.В. Фомичов, В.М. Почепов, О.Р. Мамайкін, В.В. Лапко ; М-во освіти і науки України, Нац. техн. ун-т «Дніпровська політехніка». – Дніпро : НТУ «ДП», 2019. – 24 с.

## ДОДАТКИ

## Додаток А – Характеристика вугільних пластів

Таблиця А.1 – Характеристика вугільних пластів

Символ світи	Символ пласта	Потужність пласта, м. <u>від – до</u> середня		Щільність, т/м <sup>3</sup>		Відстань до нижчого пласта по нормальні	Кут падіння пласта, град.	Будова пласта	Витриманість пласта
		Загальна	Корисна	Вугільних пачок	Загальна щільність				
$C_1^3$	$C_{10}^B$	<u>0,96 – 1,20</u> 1,03	<u>0,93 – 1,09</u> 0,99	1,26	1,28	52	3 – 5	складне, рідше просте	невитриманий
	$C_8^B$	<u>0,62 – 0,97</u> 0,70	<u>0,62 – 0,96</u> 0,70	1,26	1,27	7	3 – 5	просте	відносно витриманий
	$C_8^H$	<u>0,87 – 1,05</u> 0,95	<u>0,86 – 1,02</u> 0,94	1,26	1,27	24	3 – 5	складне	витриманий
	$C_7^H$	<u>0,60 – 0,82</u> 0,71	<u>0,60 – 0,80</u> 0,70	1,27	1,28	49	3 – 5	просте	відносно витриманий
	$C_6$	<u>0,62 – 1,01</u> 0,88	<u>0,61 – 0,96</u> 0,86	1,27	1,28	39	3 – 5	просте, рідше складне	невитриманий
	$C_5$	<u>0,67 – 0,96</u> 0,77	<u>0,67 – 0,95</u> 0,77	1,26	1,26	36	3 – 5	просте	відносно витриманий
	$C_4^B$	<u>0,61 – 1,08</u> 0,84	<u>0,60 – 1,00</u> 0,80	1,26	1,26	56	3 – 5	просте	відносно витриманий
	$C_1$	<u>0,60 – 1,31</u> 0,97	<u>0,50 – 1,11</u> 0,90	1,28	1,35	-	3 – 5	складне, рідше просте	відносно витриманий

Таблиця А.2 – Характеристика вугільних пластів

Символ пласта	Марка вугілля	Масова частка загальної робочої вологи $W_t^r$ , % <u>від - до</u> середня	Зольність $A_d$ , % <u>від - до</u> середня		Масова частка загальної сірки $S_{d\alpha}$ , % <u>від - до</u> середня	Вихід летких речовин $V_{daf}$ , % <u>від - до</u> середня	Товщина пластичного шару вугілля, мм <u>від - до</u> середня	Питома теплота згоряння $Q_{daf}$ , ккал/кг <u>від - до</u> середня	Збагачуваність вугілля по золі і сере
			Вугільних пачек	Вугілля та породних прошарків					
$C_{10}^B$	$\Gamma_6$	<u>5,0 – 13,2</u> 7,1	<u>2 – 18</u> 8	<u>2 – 29</u> 9	<u>0,7 – 4,2</u> 2,1	<u>36 – 46</u> 41	<u>6 – 12</u> 8	<u>7635 – 8415</u> 8123	легка
$C_8^B$	$\Gamma_6$	<u>2,3 – 9,3</u> 6,1	<u>2 – 18</u> 8	<u>2 – 28</u> 8	<u>0,6 – 3,2</u> 1,5	<u>32 – 44</u> 39	<u>6 – 17</u> 9	<u>7786 – 8480</u> 8184	легка
$C_8^H$	$\Gamma_6$	<u>3,8 – 8,7</u> 6,2	<u>2 – 18</u> 7	<u>2 – 25</u> 10	<u>0,6 – 3,0</u> 1,3	<u>35 – 46</u> 39	<u>7 – 15</u> 10	<u>7920 – 8395</u> 8169	легка
$C_7^H$	$\Gamma_6$	<u>2,6 – 7,7</u> 5,5	<u>2 – 20</u> 8	<u>2 – 30</u> 11	<u>0,6 – 4,8</u> 1,7	<u>33 – 45</u> 39	<u>7 – 17</u> 10	<u>7765 – 8624</u> 8167	легка
$C_6$	$\Gamma_{11}$	<u>2,0 – 6,0</u> 3,9	<u>2 – 20</u> 9	<u>2 – 29</u> 10	<u>0,3 – 3,9</u> 1,9	<u>32 – 45</u> 39	<u>7 – 19</u> 11	<u>7736 – 8565</u> 8230	легка
$C_5$	$\Gamma_{11}$	<u>2,2 – 7,4</u> 5,3	<u>2 – 20</u> 7	<u>2 – 30</u> 10	<u>0,4 – 3,1</u> 1,4	<u>35 – 44</u> 40	<u>8 – 20</u> 12	<u>7860 – 8510</u> 8247	легка
$C_4^B$	$\Gamma_{11}$	<u>2,1 – 6,4</u> 5,3	<u>2 – 16</u> 9	<u>2 – 30</u> 11	<u>0,4 – 3,4</u> 1,5	<u>35 – 46</u> 39	<u>7 – 21</u> 12	<u>7890 – 8710</u> 8300	легка
$C_1$	$\Gamma_{11}$	<u>1,3 – 5,3</u> 3,0	<u>2 – 19</u> 10	<u>2 – 30</u> 15	<u>0,4 – 3,7</u> 1,2	<u>35 – 46</u> 40	<u>7 – 22</u> 13	<u>7940 – 8675</u> 8300	легка

Таблиця А.3 – Характеристика вугільних пластів

Символ пласта	Коефіцієнт міцності вугілля	Опірність вугілля різанню, кг/см	Наявність породних прошарків і їх міцність	Наявність мінеральних включень, їх форма, міцність	Наявність інших ускладнюючих чинників	Орієнтування основних систем тріщин	Самозаймистість вугілля	Вибухонебезпека вугільного пилу
C <sup>B</sup> <sub>10</sub>	3	240	1 – 2	Аргіліти, алевроліти, рідше кальцити, кварцити, зростки піриту, f=1 – 6	Нестійкі породи покрівлі	85 - 88 <sup>0</sup>	не схильні	За викидами - безпечні, щодо вибуху газу і вугільного пилу - небезпечні
C <sup>B</sup> <sub>8</sub>	3	240	-		За одиничними свердловинами відзначена «помилкова» покрівля	85 - 88 <sup>0</sup>	не схильні	
C <sup>H</sup> <sub>8</sub>	3	420	1 – 3		Зустрічається «помилкова» покрівля	86 - 88 <sup>0</sup>	не схильні	
C <sup>H</sup> <sub>7</sub>	3	305	-		«Помилкова» покрівля відсутня	86 - 88 <sup>0</sup>	не схильні	
C <sub>6</sub>	3	305	-		«Помилкова» покрівля зустрічається дуже рідко	86 - 88 <sup>0</sup>	не схильні	
C <sub>5</sub>	3	280	-		«Помилкова» покрівля на 30% площа	86 - 88 <sup>0</sup>	не схильні	
C <sup>B</sup> <sub>4</sub>	3	301	-		«Помилкова» покрівля на 45% площа	86 - 88 <sup>0</sup>	не схильні	
C <sub>1</sub>	3	315	-		«Помилкова» покрівля на 15% площа	86 - 88 <sup>0</sup>	не схильні	





